



**FCTUC** FACULDADE DE CIÊNCIAS E TECNOLOGIA  
UNIVERSIDADE DE COIMBRA

# Análise e Transformação de Dados

---

## Trabalho Prático nº 2

Grupo 23:

João Miguel Rodrigues Jesus

nº 2008111667

Rosa Manuela Rodrigues de Faria

nº 2005128014

1. Sendo o nosso grupo o número 23, serão estes os nossos coeficientes:

$$\begin{aligned}a_1 &= -2.3 \\a_2 &= 1.74 \\a_3 &= -0.432 \\b_2 &= 0 \\b_3 &= 0.3137 \\b_4 &= 0 \\b_5 &= -0.1537\end{aligned}$$

Logo o nosso sistema SLIT será dado por

$$y[n] = 0.3137x[n-3] - 0.1537x[n-5] + 2.3 y[n-1] + 1.74y[n-2] - 0.432 y[n-3]$$

1.1. Para determinarmos a função de transferência do sistema  $G(z)$  através de  $y_1$  foi preciso calcular a Transformada de  $z$  do impulso  $H_1$ , com condições iniciais nulas, a partir da seguinte expressão:

$$G(Z) = \frac{Y(z)}{X(z)}$$

Para  $Y(Z)$ :

$$Y(Z) = 0.3137Z^{-3}X(Z) - 0.1537Z^{-5}X(Z) + 2.3 Z^{-1}Y(Z) + 1.74Z^{-2}Y(Z) - 0.432 Z^{-3}Y(Z)$$

$$\Leftrightarrow Y(Z) (1 - 2.3 Z^{-1} + 1.74Z^{-2} - 0.432 Z^{-3}) = X(Z)(0.3137Z^{-3} - 0.1537Z^{-5})$$

Substituindo na Fórmula de  $G(Z)$  obtemos:

$$G(Z) = \frac{(0.3137Z^{-3} - 0.1537Z^{-5})}{(1 - 2.3 Z^{-1} + 1.74Z^{-2} - 0.432 Z^{-3})}$$

Escolhendo a maior Potência de  $Z$ , que neste caso é  $Z^5$ , e multiplicando pelo seu inverso, obtemos:

$$\begin{aligned}G(Z) &= \frac{Z^5(0.3137Z^{-3} - 0.1537Z^{-5})}{Z^5(1 - 2.3 Z^{-1} + 1.74Z^{-2} - 0.432 Z^{-3})} \\&= \frac{(0.3137Z^2 - 0.1537)}{(Z^5 - 2.3 Z^4 + 1.74Z^3 - 0.432 Z^2)}\end{aligned}$$

- 1.2. Para obter os vectores a e b com os coeficientes dos polinómios da função de transferência há que considerar:

$$G(Z) = \frac{num(Z)}{denum(Z)}$$

Da expressão anteriormente obtida retira-se que

$$num(Z) = 0.3137 Z^2 - 0.1537$$

$$denum(Z) = Z^5 - 2.3 Z^4 + 1.74 Z^3 - 0.432 Z^2$$

Logo os vectores b e a, correspondentes ao numerador e denominador de Z, respectivamente, serão:

$$a = [1 -2.3 \ 1.74 -0.432 \ 0 \ 0]$$

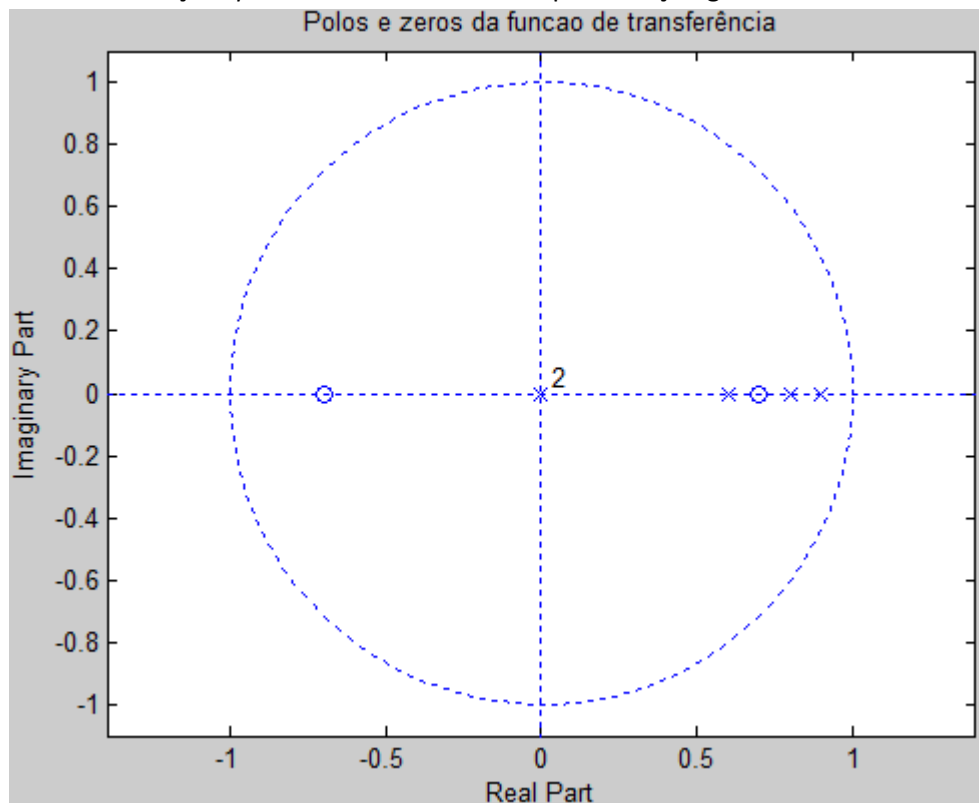
$$b = [0 \ 0 \ 0 \ 0.3137 \ 0 - 0.1537]$$

- 1.2.1. Os pólos e os zeros da função podem ser obtidos utilizando a função *roots* do Matlab, já que estes correspondem às raízes dos polinómios b e a, respectivamente. Obtiveram-se assim os seguintes valores:

$$\text{Polos} = [0 \ 0 \ 0.9 \ 0.8 \ 0.6]$$

$$\text{Zeros} = [0.7 \ -0.7]$$

Usando a função *zplane* foi então obtida a representação gráfica destes:



1.2.2. Depois de determinar os pólos e os zeros, e analisando a imagem, podemos afirmar que se trata de um sistema estável, pois todos os seus pólos e zeros se encontram dentro da circunferência de raio 1, ou seja, são menores que 1.

1.2.3. Dado que

$$H(Z) = Z_{cond.inicais nulas}\{h[n]\} = G(Z)$$

então:

$$H(Z) = \frac{(0.3137Z^{-3} - 0.1537Z^{-5})}{(1 - 2.3Z^{-1} + 1.74Z^{-2} - 0.432Z^{-3})}$$

Utilizando o Matlab com a função *iztrans* para calcular a transformada de Z obtemos:

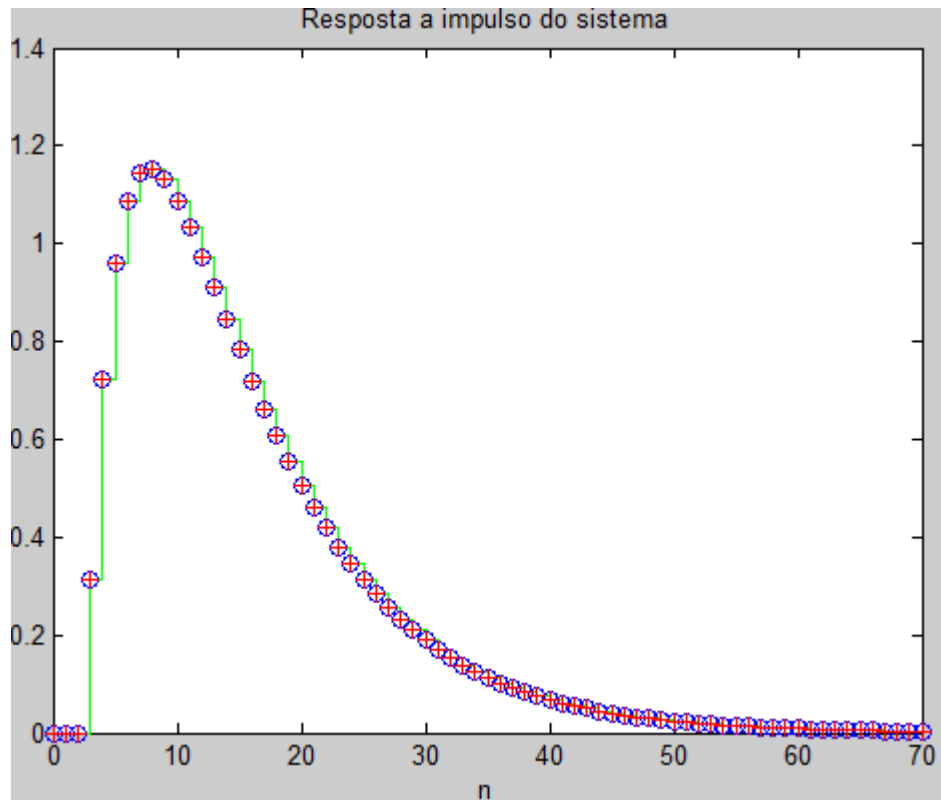
A resposta de impulso do sistema e dada por

$$\begin{array}{r} \begin{array}{ccc} & n & \\ 44573 \text{ kroneckerDelta}(n - 1, 0) & 1537 \text{ kroneckerDelta}(n - 2, 0) & 1274 (3/5)^n \\ \hline 31104 & 4320 & 405 \end{array} \\ + \\ \begin{array}{ccc} n & n & \\ 11767 (4/5)^n & 100397 (9/10)^n & 17644573 \text{ kroneckerDelta}(n, 0) \\ \hline 2560 & 21870 & 5598720 \end{array} \end{array}$$

$$\begin{aligned} & \frac{44573}{31104} \delta[n-1] + \frac{1537}{4320} \delta[n-2] - \frac{1274}{405} \times \left(\frac{3}{5}\right)^n - \frac{11767}{2560} \times \left(\frac{4}{5}\right)^n + \frac{100397}{21870} \\ & \times \left(\frac{9}{10}\right)^n + \frac{17644574}{5598720} \delta[n] \end{aligned}$$

Esta expressão é válida para  $n \geq 0$ .

1.2.4. Para a realização desta alínea foram utilizadas, como sugerido, as funções *impz* e *dimpulse* para o cálculo de  $h_2[n]$  e  $h_3[n]$ . Na função  $h_1[n]$  foi substituído o vector  $n$  com os valores de 0 a 70 através da função *subs*. Finalmente foi criada uma matriz para ser feito o plot de  $h_1[n]$  em escada.



1.2.5. Para obter a resposta do sistema a um impulso unitário sabemos que

$$Y(Z) = X(Z)H(Z), \text{ com } X(Z) = U(Z)$$

Sendo

$$u[n] = \begin{cases} 0, & n < 0 \\ 1, & n \geq 0 \end{cases}$$

Então

$$U(Z) = \sum_{n=-\infty}^{\infty} u[n]z^{-n} = \sum_{n=0}^{\infty} 1z^{-n} = \sum_{n=0}^{\infty} (z^{-1})^n = \frac{1}{1 - z^{-1}}$$

Substituindo na fórmula anterior  $U(Z)$  e  $H(Z)$  - determinado na alínea 1.2.3 - ficamos com

$$Y(Z) = \frac{1}{1 - z^{-1}} \times \frac{(0.3137Z^{-3} - 0.1537Z^{-5})}{(1 - 2.3Z^{-1} + 1.74Z^{-2} - 0.432Z^{-3})}$$

Sabendo ainda que

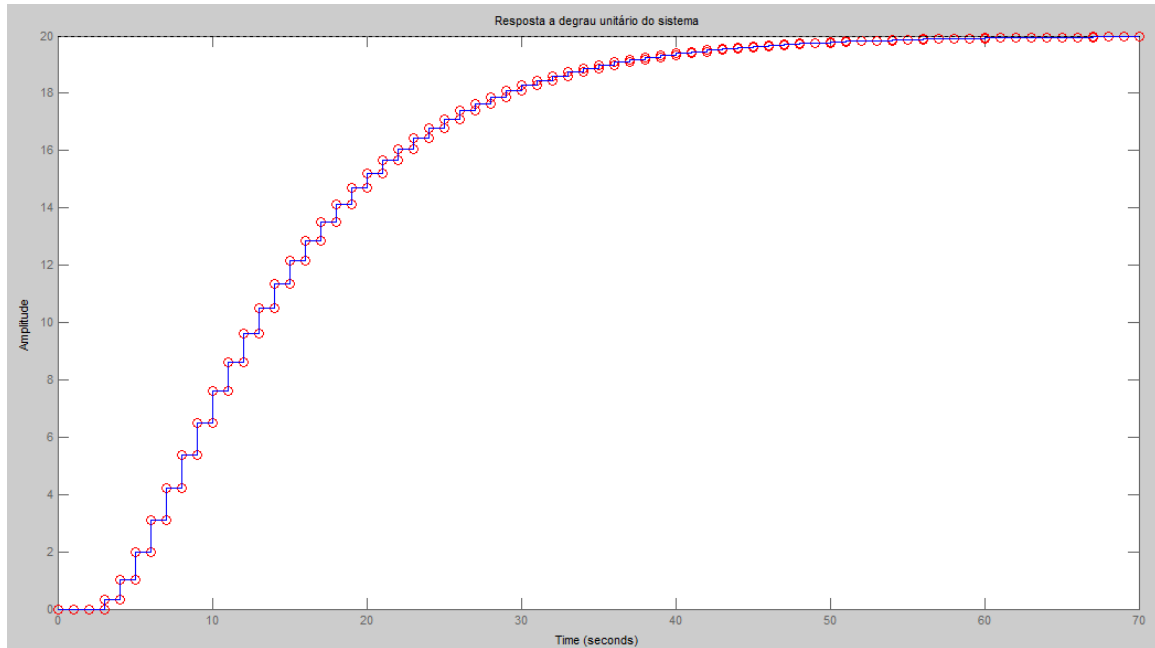
$$y[n] = Z^{-1}\{Y(Z)\}$$

teremos de utilizar a transformada de  $Z$  (dada pela função *iztrans*) para obter a resposta do sistema a este impulso, em que obtivemos:

$$y[n] = \frac{637\left(\frac{3}{5}\right)^n}{135} - \frac{1537\delta[n-1]}{4320} + \frac{11767\left(\frac{4}{5}\right)^n}{640} - \frac{100397\left(\frac{9}{10}\right)^n}{2430} - \frac{278197\delta[n]}{155520} + 20$$

1.2.6. Para comparar as duas funções e fazer o respectivo plot foi novamente necessário usar a função *stairs* de maneira a representar em escada a expressão obtida na alínea anterior.

Verifica-se assim que as duas são iguais.



1.2.7. Para calcular a transformada da entrada temos de utilizar a transformada de Z para um determinado intervalo dada por:

$$X(Z) = \sum_{n=-\infty}^{\infty} x[n]z^{-n}$$

É, assim, pedido ao utilizador que introduza o vector de  $x[n]$  através da função *input*. É depois calculado  $X(Z)$  e  $Y(Z) = X(Z) * H(Z)$ , com  $H(Z)$  calculado anteriormente, e calculada a transformada inversa de  $Y(Z)$ , novamente através da função *iztrans*.

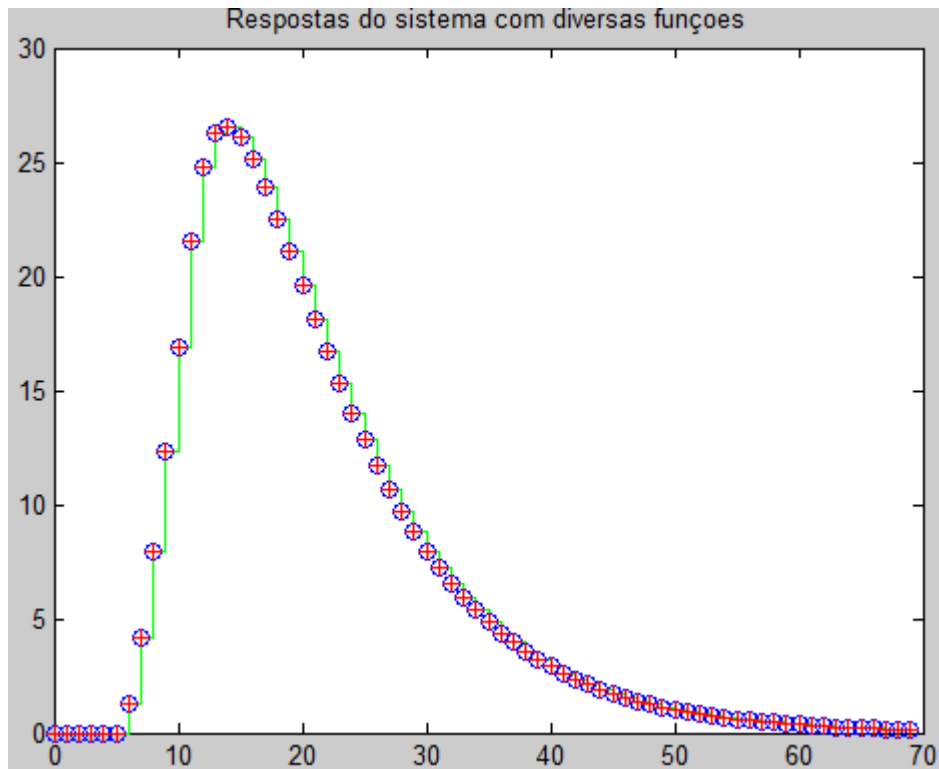
No caso da função fornecida,  $x[n] = 4(u[n-3]-u[n-9])$ , o ideal é obter o vector usando um ciclo:

```
for n = 0:70
    v(n+1) = 4*(u(n,3)-u(n,9));
end
```

Para este efeito foi também fornecida a função *u.m* utilizada no trabalho 1.

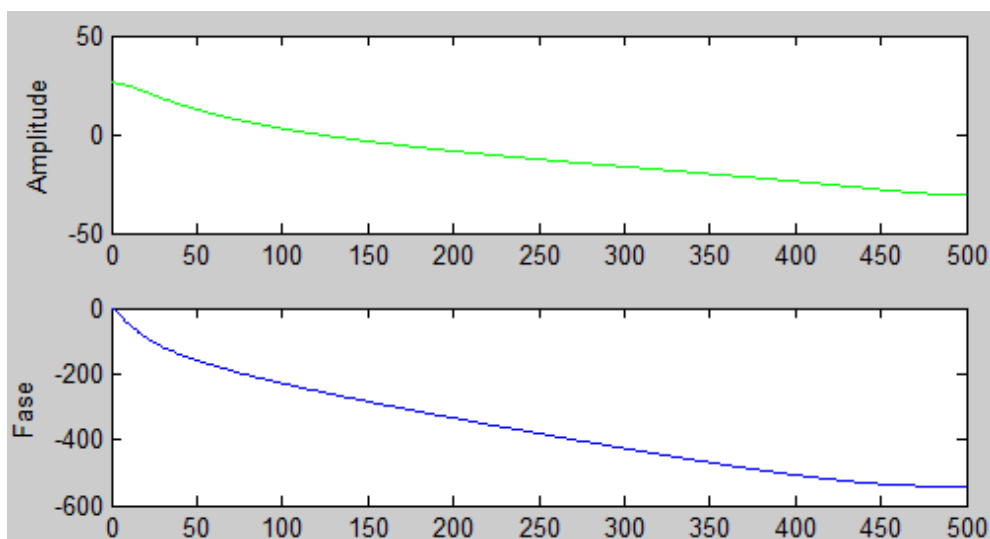
1.2.8. Para fazer esta comparação foi novamente usada a função *stairs* para representar a resposta ao sistema calculada na alínea anterior. São também usadas as funções *filter* e *dlsim* como sugerido e utilizando os coeficientes a e b também anteriormente calculados.

O resultado do exemplo dado é o seguinte:



1.2.9. Para calcular a resposta do sistema  $H(\Omega)$  foi utilizada a função *freqz*, tendo como parâmetros de entrada os coeficientes a e b, e ainda um vector linearmente espaçado com 500 elementos entre 0 e  $\pi$ .

Posteriormente é calculada a amplitude através da expressão  $20 \log_{10}|H|$  de modo a converter para dB. A fase, por sua vez, é calculada com a função *angle*, sendo feito o seu *unwrap* como sugerido, sendo depois convertido para graus.



1.2.10. Para calcular o ganho do sistema em regime estacionário, teremos de utilizar a função *ddcgain* do Matlab; ao aplicar a mesma para o sinal dado obtemos o valor 20.

Pelo teorema do valor final sabemos que

$$\lim_{n \rightarrow +\infty} x[n] = \lim_{z \rightarrow 1} (1 - z^{-1})X(z)$$

Como  $y[n]$  é causal, teremos também

$$\lim_{n \rightarrow +\infty} y[n] = \lim_{z \rightarrow 1} (1 - z^{-1})Y(z)$$

Tal como foi visto em 1.2.5,

$$Y(Z) = \frac{1}{1 - z^{-1}} \times \frac{(0.3137Z^{-3} - 0.1537Z^{-5})}{(1 - 2.3 Z^{-1} + 1.74Z^{-2} - 0.432 Z^{-3})}$$

Logo  $\lim_{z \rightarrow 1} (1 - z^{-1})Y(z)$

$$\begin{aligned} &= \lim_{z \rightarrow 1} (1 - z^{-1}) \frac{1}{1 - z^{-1}} \times \frac{(0.3137Z^{-3} - 0.1537Z^{-5})}{(1 - 2.3 Z^{-1} + 1.74Z^{-2} - 0.432 Z^{-3})} \\ &= \lim_{z \rightarrow 1} \frac{(0.3137Z^{-3} - 0.1537Z^{-5})}{(1 - 2.3 Z^{-1} + 1.74Z^{-2} - 0.432 Z^{-3})} \\ &= \frac{(0.3137 \times 1^{-3} - 0.1537 \times 1^{-5})}{(1 - 2.3 \times 1^{-1} + 1.74 \times 1^{-2} - 0.432 \times 1^{-3})} \\ &= \frac{(0.3137 - 0.1537)}{(1 - 2.3 + 1.74 - 0.432)} = 20 \end{aligned}$$

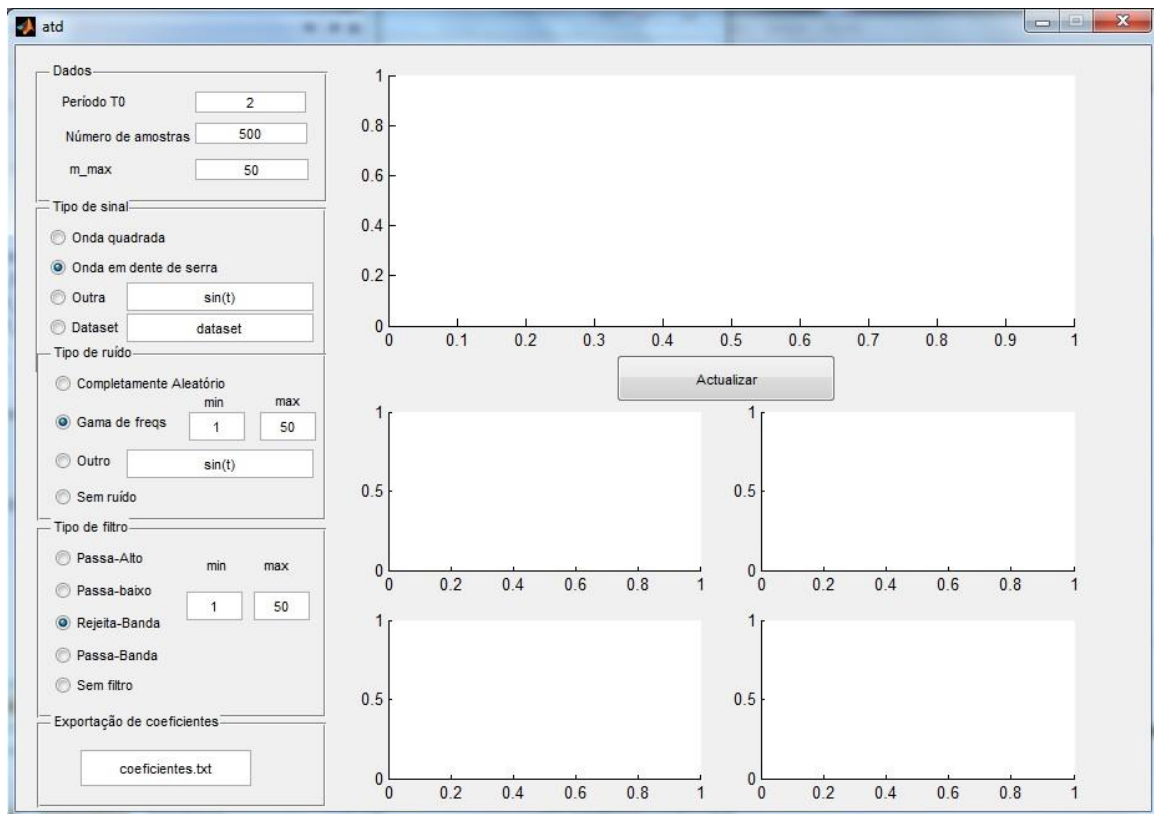
2. Para a resolução deste exercício (e posteriormente dos exercícios 3 e 5) foi desenvolvido um GUI, no script *atd.m* (e correspondente *atd.fig*).

Neste interface é possível definir o período fundamental  $T_0$ , o número de amostras pretendido (que depois determina a sequência temporal  $t$ ) e o  $m_{\text{max}}$  para cálculo dos coeficientes de Fourier como constantes.

É depois possível seleccionar o tipo de sinal (onda quadrada, onda em dente de serra, função definida pelo utilizador ou carregar um ficheiro de dataset – necessário para o exercício 5), o tipo de ruído e o tipo de filtro (para o exercício 3), bem como o ficheiro para o qual serão impressos os coeficientes calculados em colunas com, respectivamente, os valores de  $m$  para a Série de Fourier complexa, os coeficientes de  $C_m$  e  $\theta_m$  e  $c_m$  seguido do respectivo ângulo da série complexa. Os coeficientes da série complexa são calculados na função *SerieFourier.m*, no final da qual são feitos esses cálculos.

Ao carregar no botão “Atualizar” aparecerão as representações do sinal e da sua aproximação em Séries de Fourier, caso não haja ruído nem filtro (ou seja, nos casos do exercício 2), ou o sinal com ruído e com filtro (nos casos do exercício 3). Nos 4 gráficos abaixo aparecerão os devidos coeficientes das séries de Fourier. Será também exportado o ficheiro com os valores dos coeficientes. No caso do exercício 3, caso haja filtro, em vez dos coeficientes da Série de Fourier complexa aparecerão os coeficientes  $C_m$  e  $\theta_m$  depois de filtrado o sinal.



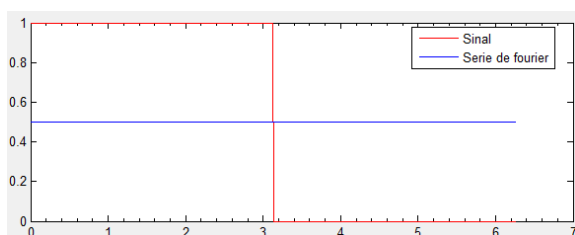


2.2. Nos pontos seguintes é mostrado um primeiro gráfico em que  $m_{max} = 100$ , e o número de amostras é de 500. De seguida são mostrados vários gráficos com diferentes  $m_{max}$ , sendo que nos dois últimos casos, quando  $m_{max} = 100$ , o sinal e a sua aproximação em Série de Fourier estão completamente sobrepostos.

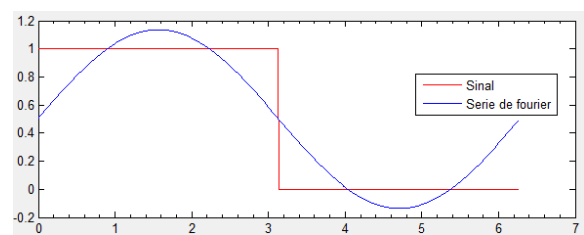
### 2.2.1. Onda quadrada de período $2\pi$

Quanto a este sinal podemos observar que, como seria normal, quanto maior o  $m$ , melhor a aproximação. No entanto, por muito grande que seja o  $m$ , a aproximação em Séries de Fourier terá sempre uma diferença, podendo ser muito pouca, e nem sequer ser visível a olho nu. Se testarmos os vários valores de  $m$  percebemos também que para  $m = 491$  a série de Fourier começa a divergir do sinal original.

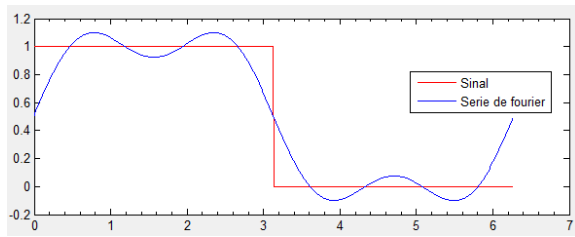
$M = 0$



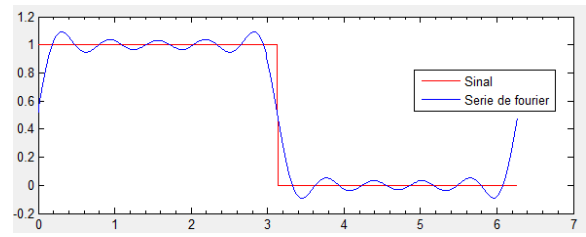
$M = 1$



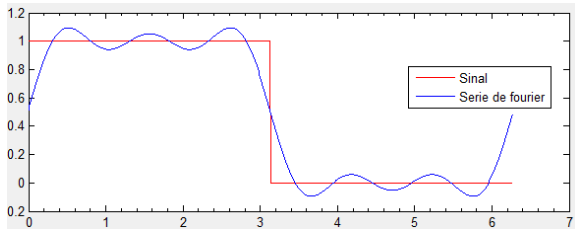
M = 3



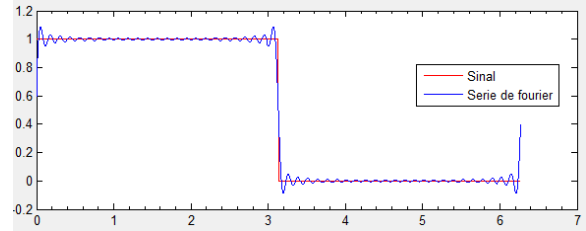
M = 10



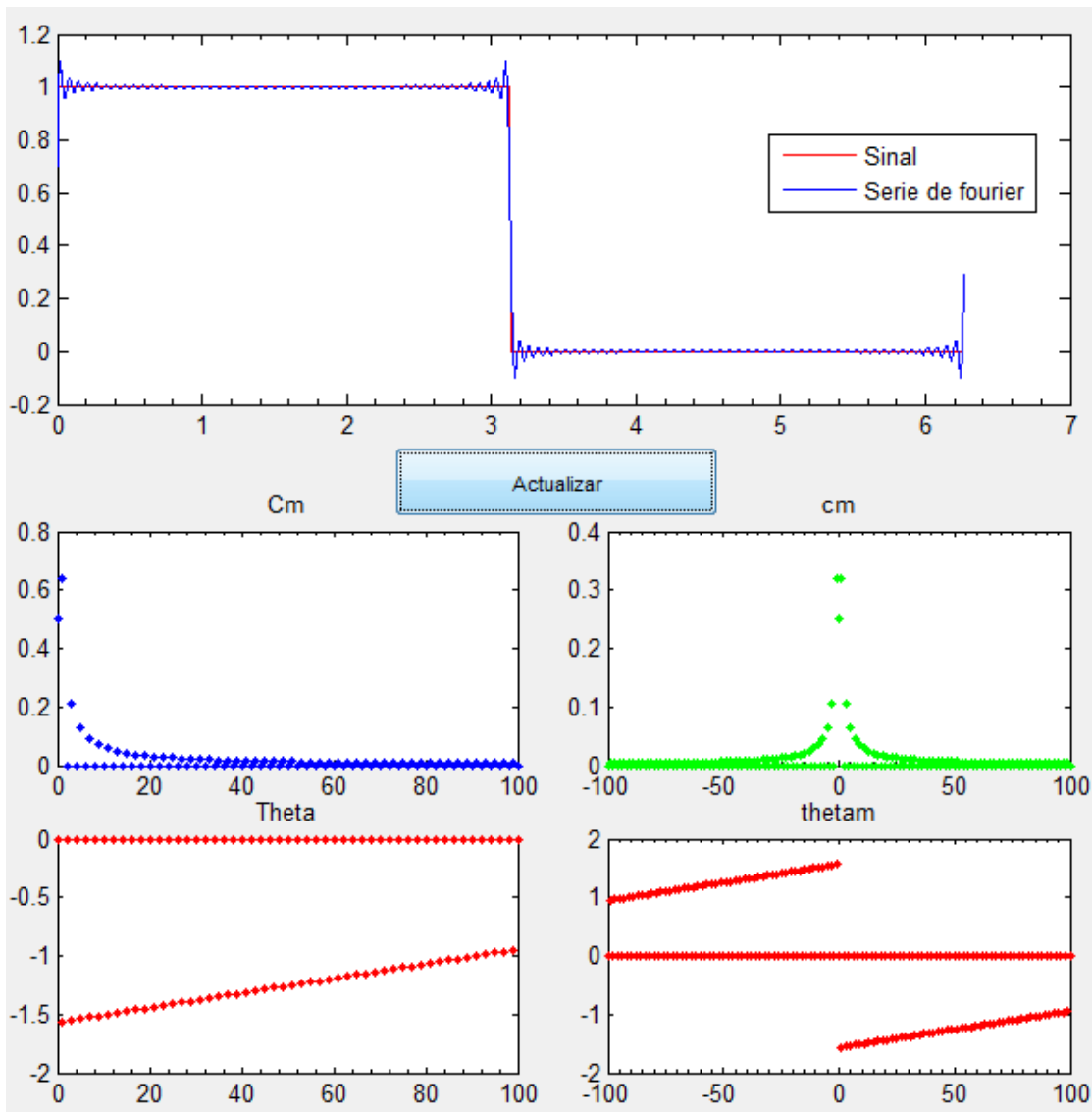
M = 5



M = 50

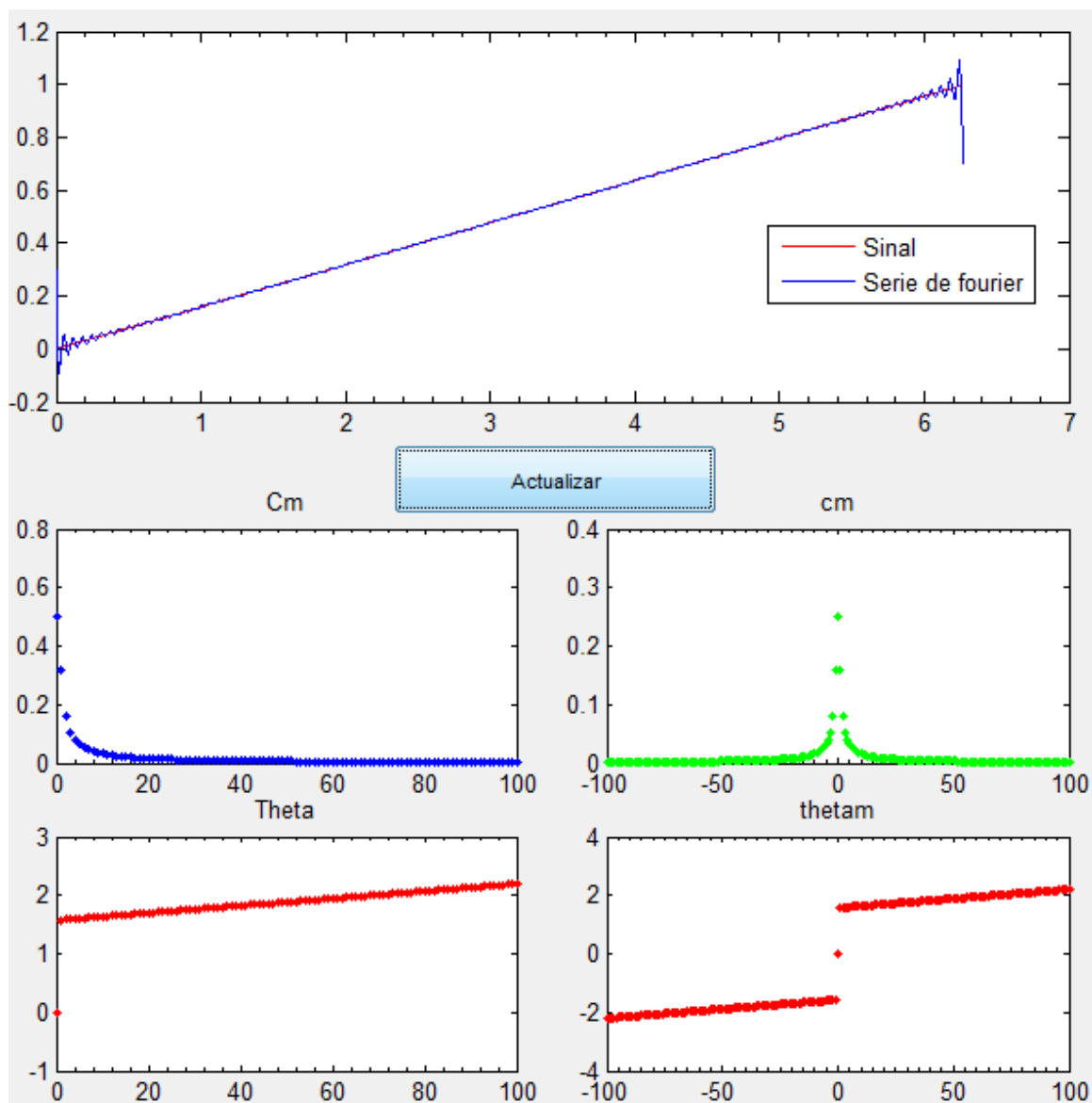


M = 100



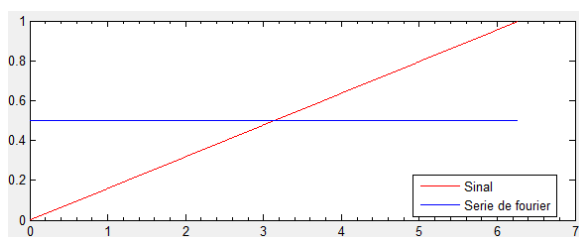
### 2.2.2. Onda em dente de serra de período $2\pi$

$M = 100$

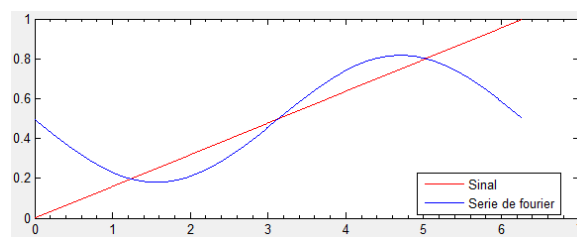


Quando o sinal é uma onda em dente de serra pode-se verificar que, tal como no caso anterior, a série de Fourier pode aproximar o sinal, mas terá sempre uma diferença.

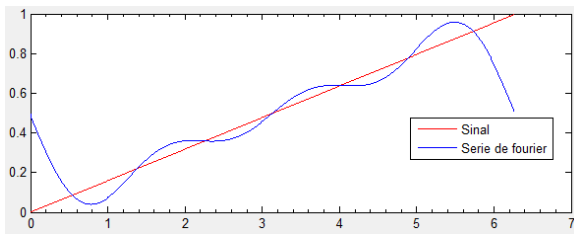
$M = 0$



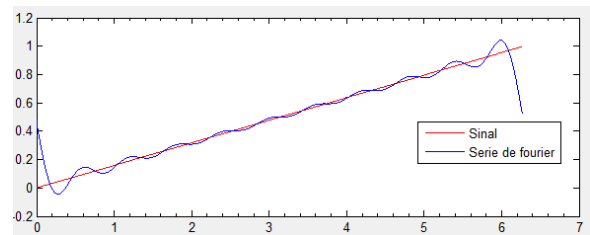
$M = 1$



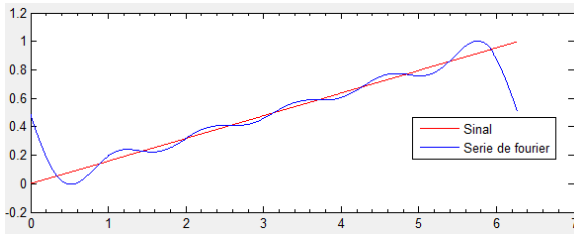
M = 3



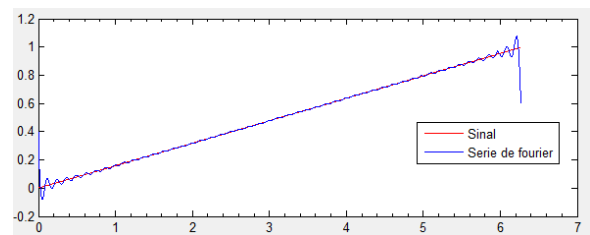
M = 10



M = 5

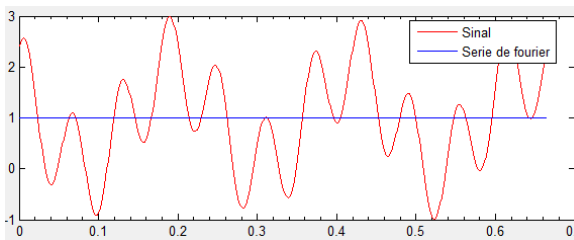


M = 50

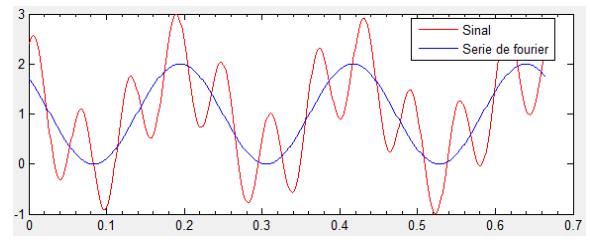


2.2.3.  $x(t) = 1 + 2 \sin\left(12\pi t + \frac{\pi}{4}\right) \cos(21\pi t)$ , Período =  $\frac{2}{3}$  calculado em 2.3

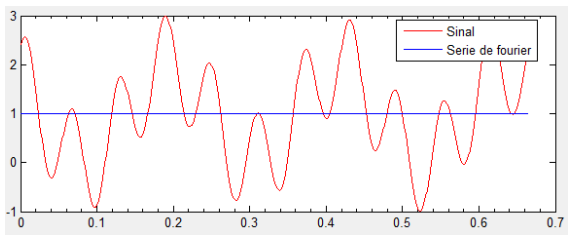
M = 0



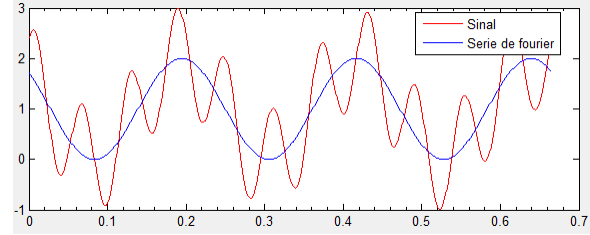
M = 5



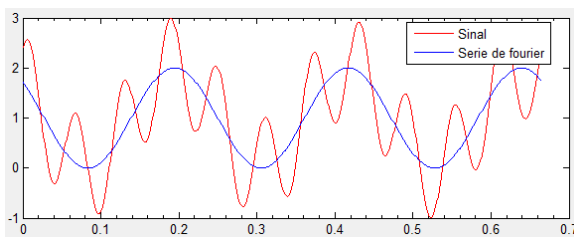
M = 1



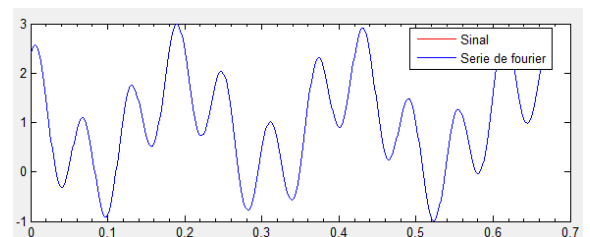
M=10



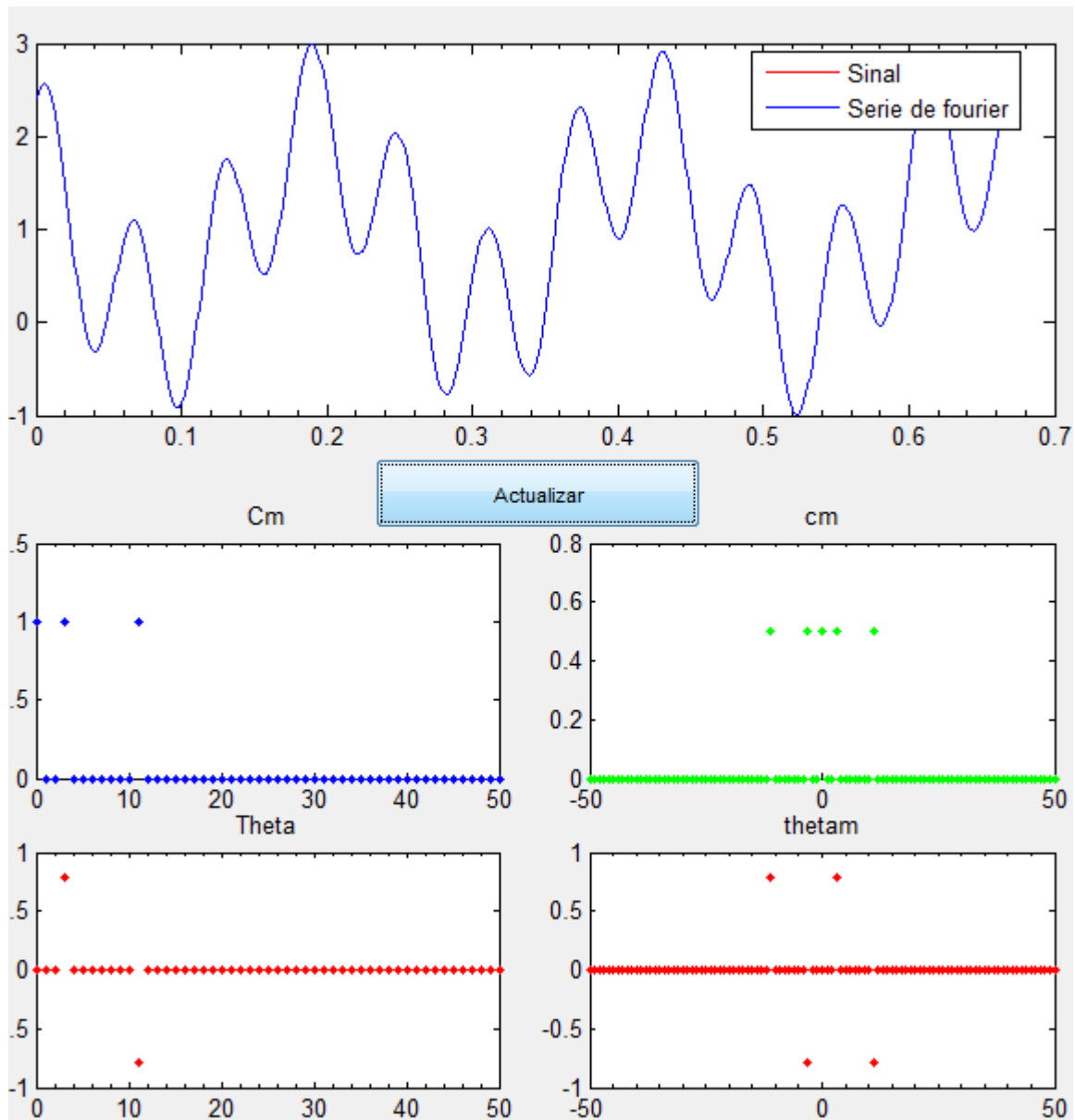
M = 3



M = 20



M=50

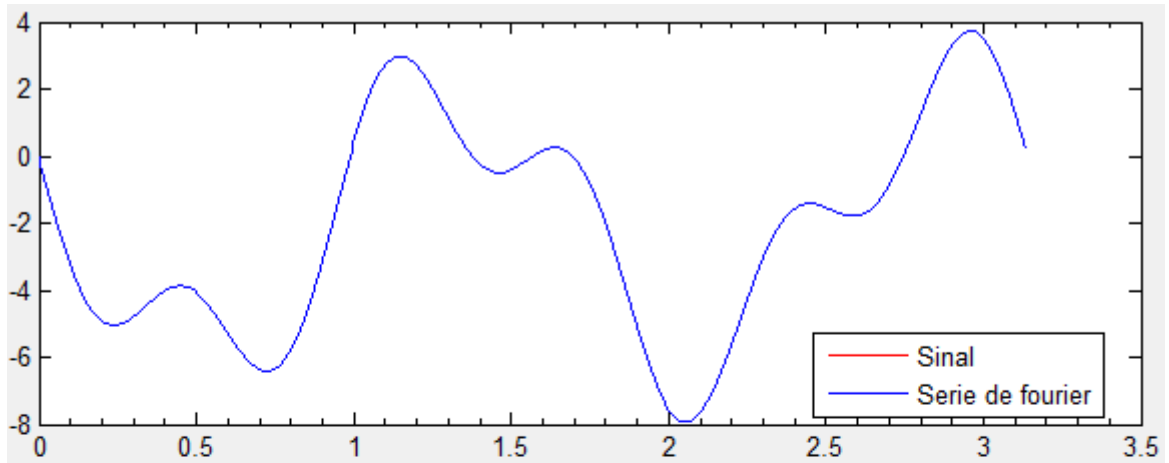


No caso desta onda sinusoidal, observa-se que a partir de  $m = 11$  ( $m_{\max} = 12$  dada a indexação do Matlab) a aproximação do sinal por Série de Fourier é perfeitamente coincidente com o sinal. No exercício 2.3 verifica-se a razão para isso, já que o desenvolvimento do sinal na Série de Fourier mostra que os coeficientes só são não nulos para  $m = 0$ ,  $m = 3$  e  $m = 11$ .

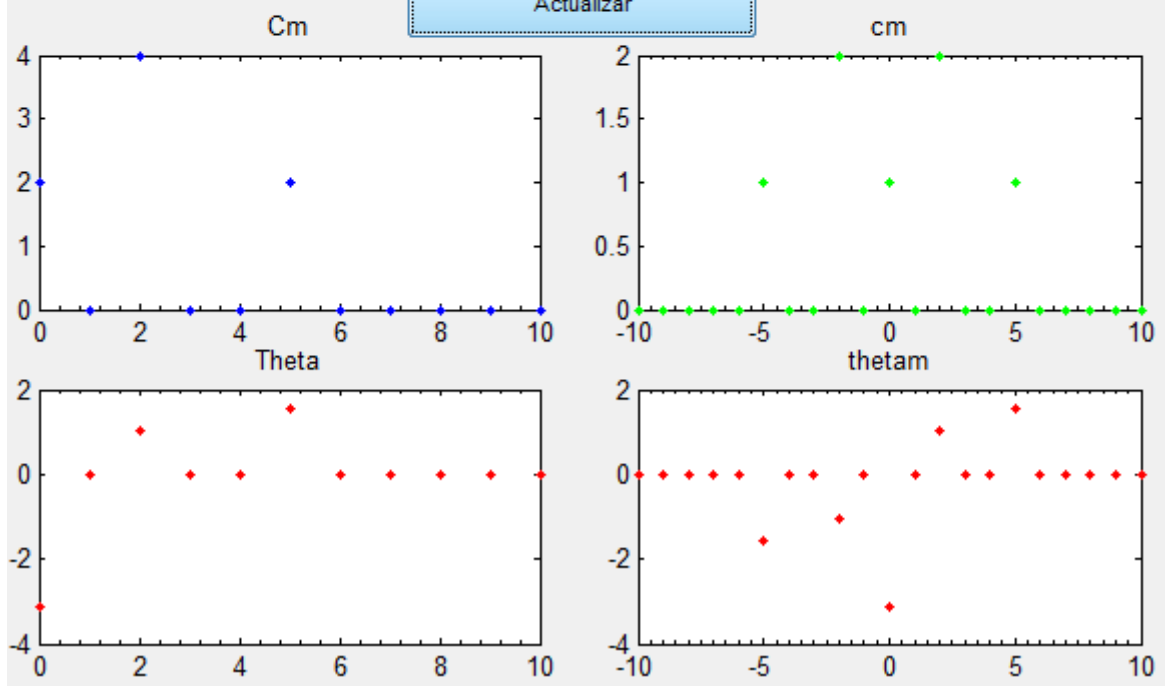
2.2.4.  $x(t) = -2 + 4 \cos\left(4t + \frac{\pi}{3}\right) - 2\sin(10t)$ , Período =  $\pi$ , calculado em 2.3

Este caso é semelhante ao anterior, já que os coeficientes não nulos são em  $m = 0$ ,  $m = 2$  e  $m = 5$ , e portanto para  $m_{\max} > 6$  a função não se irá alterar.

M = 10

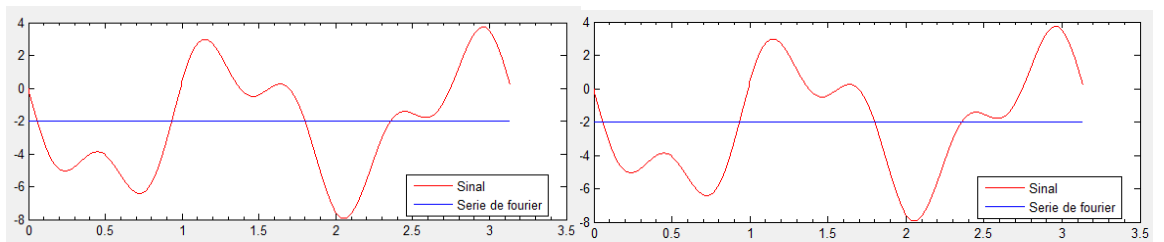


Actualizar



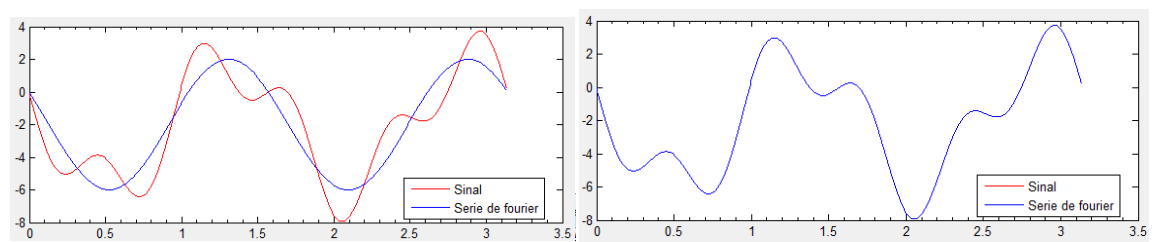
M = 0

M = 1



M = 3

M = 5



2.3.

$$\begin{aligned}
 x(t) &= 1 + 2 \sin\left(12\pi t + \frac{\pi}{4}\right) \cos(21\pi t) \\
 &= \cos(0t + 0) + \left(\sin\left(12\pi t + \frac{\pi}{4} + 21\pi t\right) - \sin\left(21\pi t - 12\pi t - \frac{\pi}{4}\right)\right) \\
 &= \cos(0t + 0) + \cos\left(\frac{\pi}{2} - \left(12\pi t + \frac{\pi}{4} + 21\pi t\right)\right) + \cos\left(\frac{\pi}{2} - \left(12\pi t + \frac{\pi}{4} - 21\pi t\right)\right) \\
 &= \cos(0t + 0) + \cos\left(\frac{\pi}{4} - 33\pi t\right) + \cos\left(\frac{\pi}{4} + 9\pi t\right) \\
 &= 1\cos(0t + 0) + 1\cos\left(33\pi t - \frac{\pi}{4}\right) + 1\cos\left(9\pi t + \frac{\pi}{4}\right)
 \end{aligned}$$

Temos então a frequência fundamental  $\omega_0 = \text{mdc}(0, 33\pi, 9\pi) = 3\pi$  e o período fundamental  $T_0 = \frac{2\pi}{\omega_0} = \frac{2\pi}{3\pi} = \frac{2}{3}$ .

Os coeficientes da série de Fourier serão não nulos em  $m = 0$ ,  $m = \frac{9\pi}{3\pi} = 3$ , e  $m = \frac{33\pi}{3\pi} = 11$ , e teremos portanto:

<b>m</b>	<b>0</b>	<b>3</b>	<b>11</b>
<b>C<sub>m</sub></b>	1	1	1
<b>θ<sub>m</sub></b>	0	$\frac{\pi}{4}$	$-\frac{\pi}{4}$

$$\begin{aligned}
 x(t) &= -2 + 4 \cos\left(4t + \frac{\pi}{3}\right) - 2 \sin(10t) \\
 &= 2 \cos(\pi) + 4 \cos\left(4t + \frac{\pi}{3}\right) + 2 \sin(-10t) \\
 &= 2 \cos(0t + \pi) + 4 \cos\left(4t + \frac{\pi}{3}\right) + 2 \cos\left(10t + \frac{\pi}{2}\right)
 \end{aligned}$$

Temos então a frequência fundamental  $\omega_0 = \text{mdc}(0, 10, 4) = 2$  e o período fundamental  $T_0 = \frac{2\pi}{\omega_0} = \frac{2\pi}{2} = \pi$ .

Os coeficientes da série de Fourier serão não nulos em  $m = 0$ ,  $m = \frac{4}{2} = 2$ , e  $m = \frac{10}{2} = 5$  e teremos portanto:

<b>m</b>	<b>0</b>	<b>2</b>	<b>5</b>
<b>C<sub>m</sub></b>	2	4	2
<b>θ<sub>m</sub></b>	$\pi$	$\frac{\pi}{3}$	$\frac{\pi}{2}$

2.4. Para determinar os valores de  $c_m$  analiticamente calcula-se a seguinte expressão:

$$c_m = \frac{1}{T_0} \int_{-\frac{T_0}{2}}^{\frac{T_0}{2}} x(t) e^{-jm\omega_0 t} dt$$

De forma a agilizar esse cálculo foi construído um script em Matlab que começa por definir as variáveis  $t$  e  $m$  como simbólicas, calculando depois a respectiva expressão de  $x$ , e seguidamente o integral através da função *int* do Matlab. Dado que esse integral depende de  $m$ , e o nosso objectivo é obter os coeficientes dos vários  $m$ , é então construído um vector *coef* que contém os vários valores de  $c_m$  calculados como o limite do integral com  $m$  a tender para o valor desse índice. Todos esses cálculos encontram-se no ficheiro *ex2\_4.m*.

3. Para o exercício 3 complementou-se, como já mencionado, o GUI desenvolvido no exercício 2, de forma a incluir as hipóteses de utilizar ruído e filtro no sinal.

3.1. Assim, foram introduzidas as seguintes hipóteses para a adição de ruído:

- Ruído completamente aleatório, dado pela função *rand(x)*, sendo  $x$  o número de amostras do sinal. Considerou-se que o ruído deveria ter uma amplitude de 0.4 para poder ser minimamente detectado e não se confundir totalmente com o sinal, e que deve ser tanto positivo como negativo; desta forma a expressão tornou-se  $\text{ruído} = 0.4 * \text{rand}(x) - 0.2$
- Ruído aleatório definido numa gama de frequências – neste caso considerou-se que o utilizador introduzia o valor de  $m$  e não da frequência. Este ruído é assim constituído por uma série de Fourier com  $m$  a variar no intervalo introduzido e com coeficientes  $C_m$  e  $\theta_m$  aleatórios.
- Ruído dado por uma função inserida pelo utilizador.
- Sem ruído

O ruído calculado é depois somado ao sinal original para ser feito o plot do sinal com ruído.

Para escolher o tipo de filtro foram também adicionadas as seguintes hipóteses:

- Filtro Passa-Baixo, que exclui as frequências acima da frequência dada
- Filtro Passa-Alto, que exclui as frequências abaixo da frequência dada
- Filtro Passa-Banda, que exclui todas as frequências fora do intervalo dado
- Filtro Rejeita-Banda, que exclui as frequências dentro do intervalo dado

A introdução feita pelo utilizador é novamente considerada como sendo os valores de  $m$  a utilizar, sendo que o filtro é novamente calculado através de uma série de Fourier, em que  $m$  irá variar novamente no intervalo dado, e os coeficientes utilizados serão calculados previamente como os com a função *SerieFourier.m* fornecida tendo como parâmetro de entrada o ruído em vez do sinal. O valor do filtro é depois somado ao sinal original. Há que ter em atenção que estes são filtros ideais, e que excluem completamente determinadas frequências, e não as atenuam apenas.

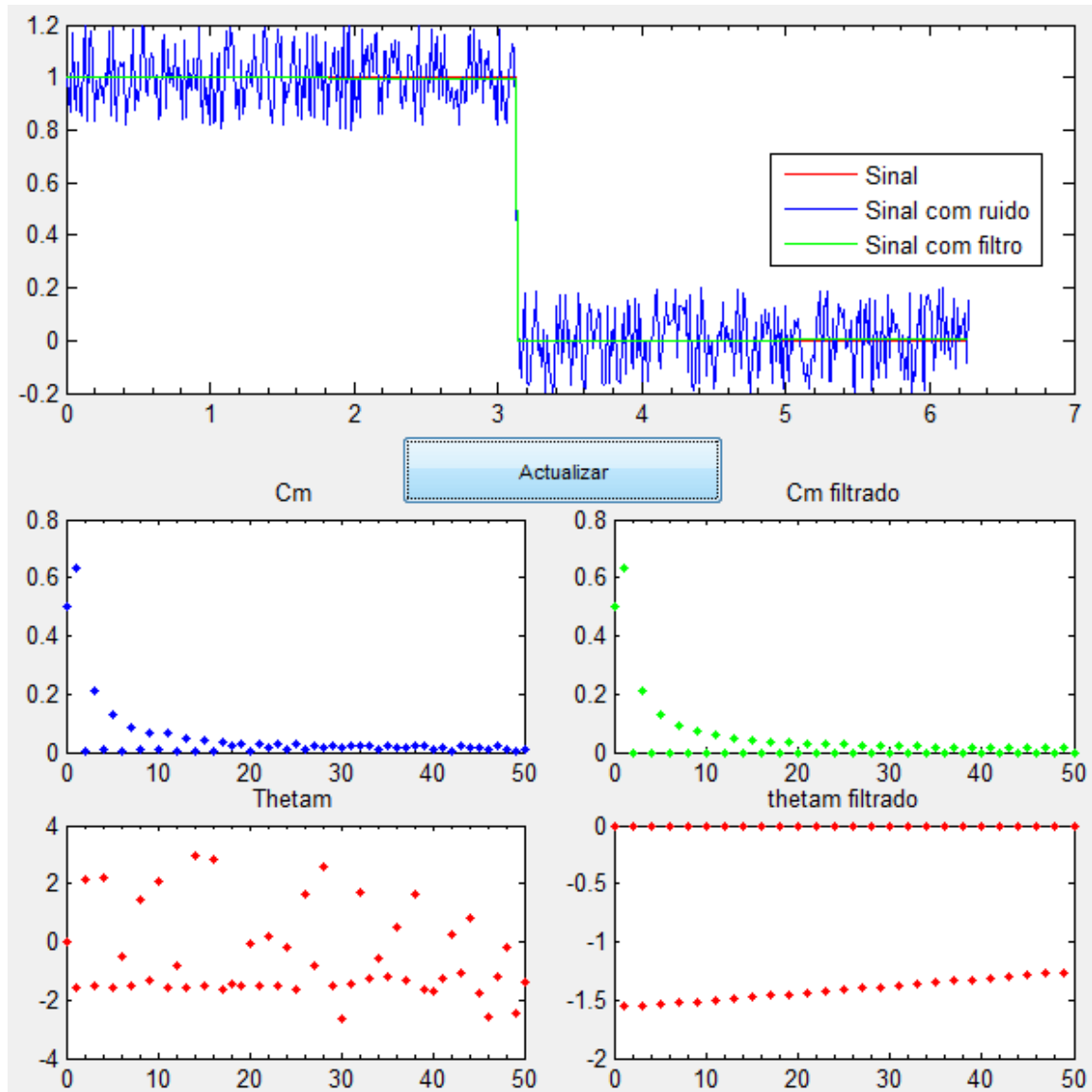


### 3.2.

#### 3.2.1. Onda quadrada unitária, $T_0 = 2\pi$ , ruído aleatório, filtro passa-baixo ( $m=2$ ).

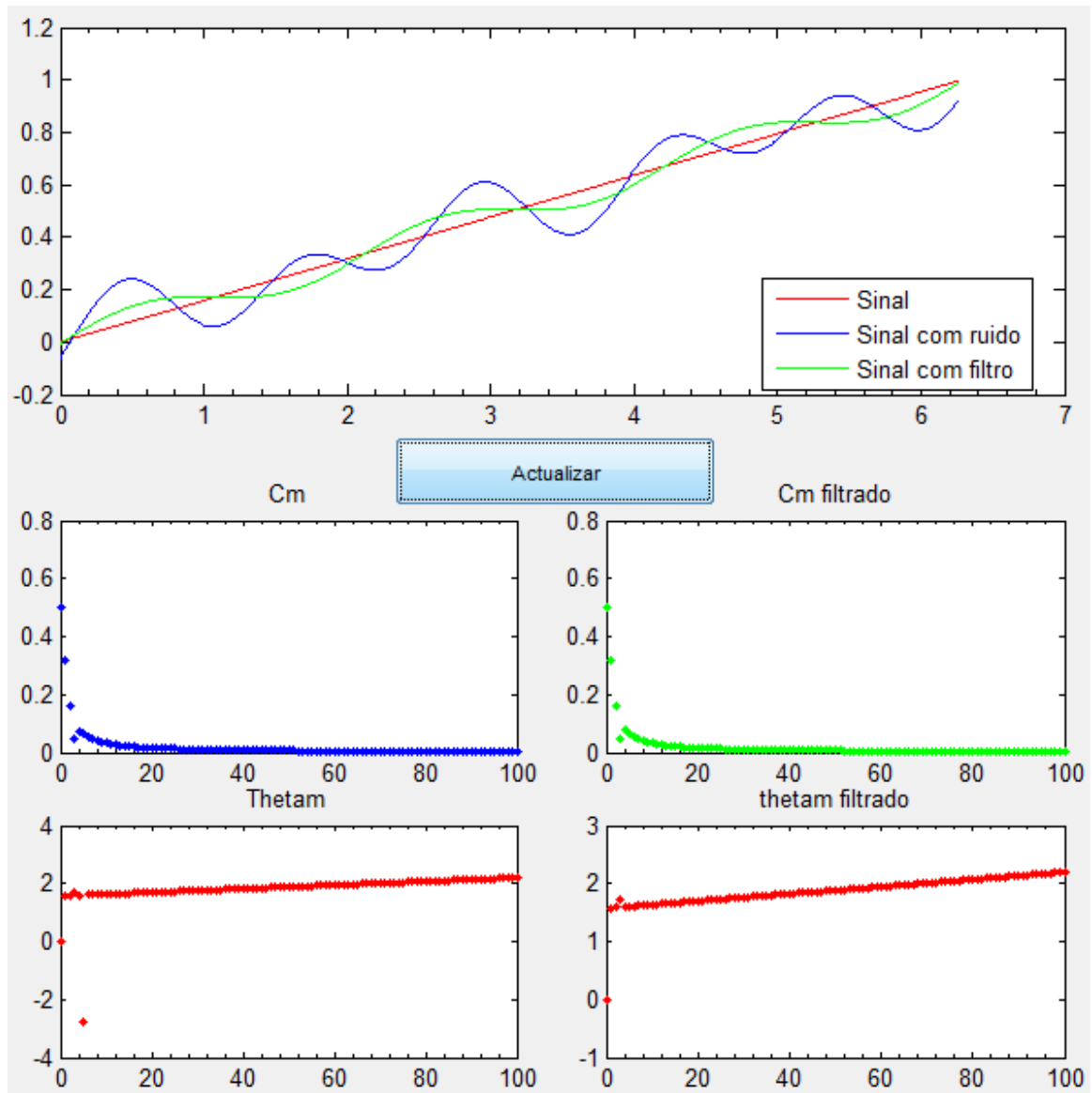
Neste caso pode-se verificar que, uma vez introduzido ruído na onda, é impossível que o sinal seja completamente recuperado. Isto deve-se ao facto de, como verificámos anteriormente, o sinal não poder ser totalmente definido por séries de Fourier.

Assim sendo, o filtro que se mostrou mais eficaz foi um filtro passa-baixo com  $m=2$ .



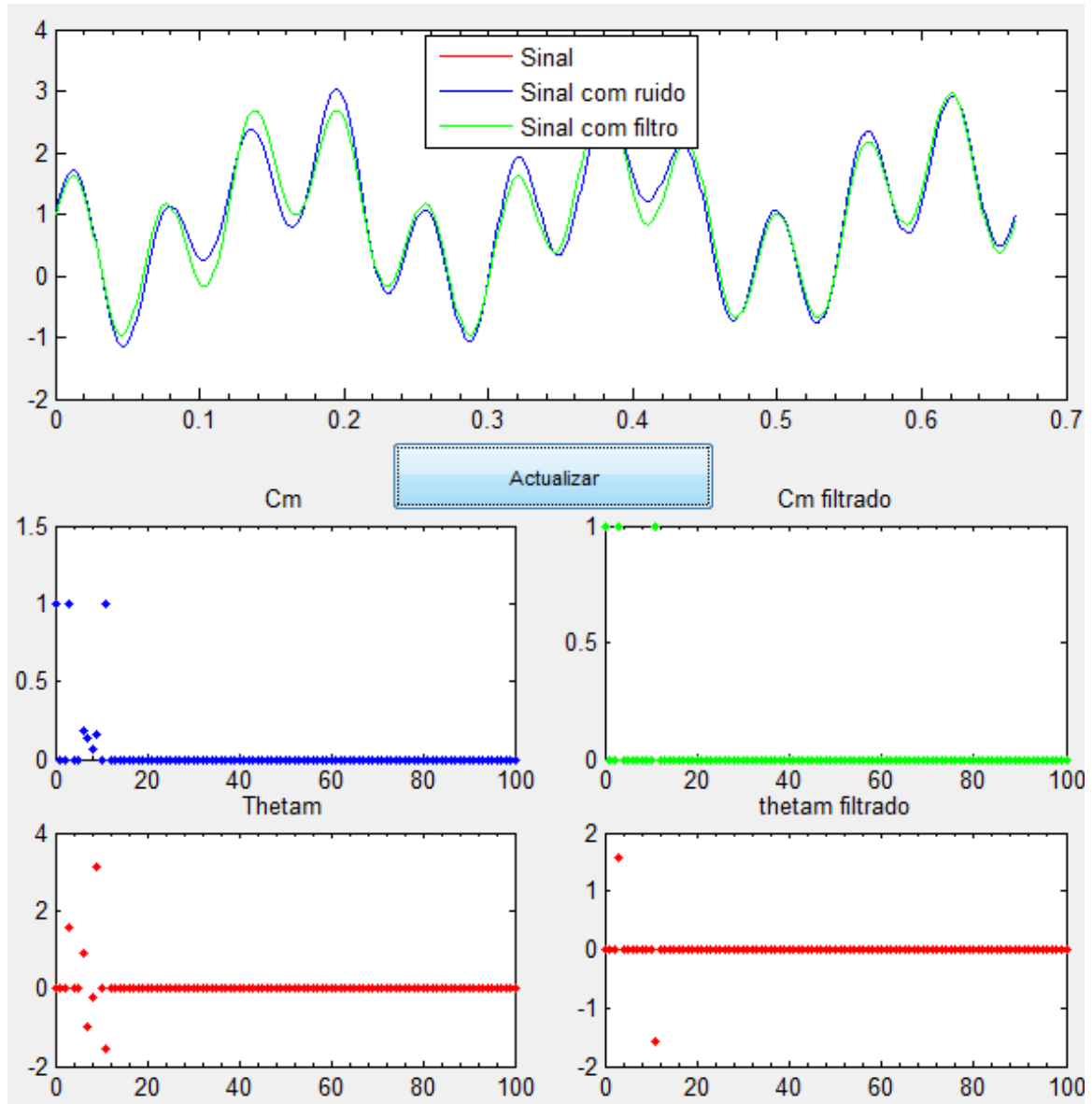
3.2.2. Onda em dente de serra,  $T_0 = 2\pi$ , ruído na gama  $\omega \in [4, 6]$ , filtro passa-baixo ( $m=4$ ).

Mais uma vez se verifica que é impossível recuperar o sinal original dado um ruído aleatório, mesmo sendo numa frequência específica, pelo mesmo motivo que no caso anterior. O filtro que melhor desempenho teve foi o filtro passa-baixo com  $m=4$ .



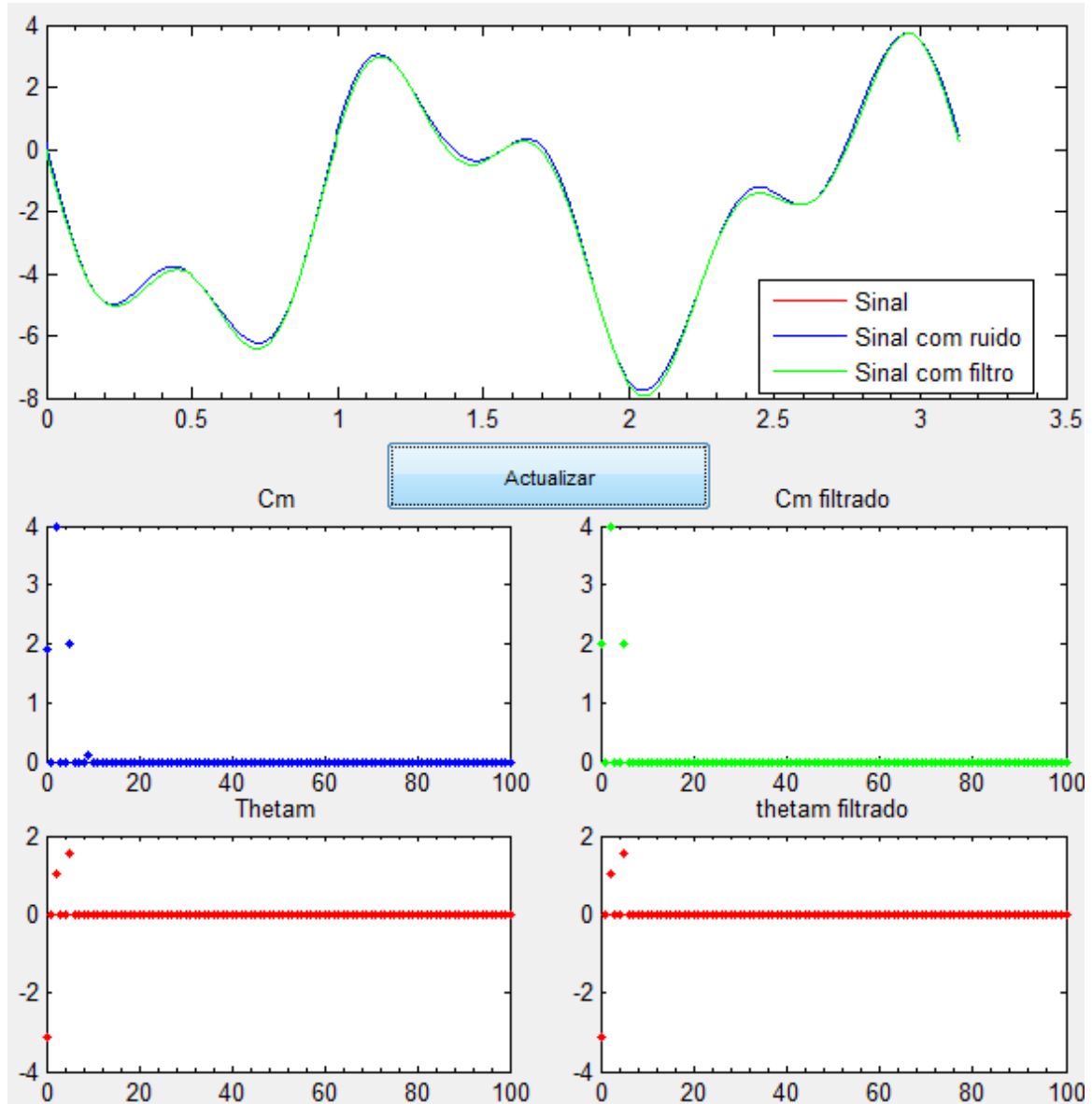
3.2.3. Sinal:  $x(t) = 1 + 2 \sin\left(12\pi t + \frac{\pi}{4}\right) \cos(21\pi t)$ ,  $T_0 = 2/3$ , ruído na gama  $\omega \in [20\pi, 30\pi]$ , filtro passa-banda entre  $m = 2$  e  $m = 3$ .

Neste caso observa-se que o filtro é muito eficaz a corrigir o ruído, poiso ruído apenas está definido entre  $m = 7$  e  $m = 10$ .



3.2.4. Sinal:  $x(t) = -2 + 4 \cos\left(4t + \frac{\pi}{3}\right) - 2 \sin(10t)$ ,  $T_0 = \pi$ , ruído dado pela expressão  $ruído(t) = 0.2 \cos(9t)^2$ , filtro rejeita-banda com  $m=2$ .

Finalmente neste último caso temos o ruído definido pelo utilizador. Esta função tem  $\omega_0 = 2$ , logo se fizermos o respectivo filtro rejeita-banda verificamos a completa sobreposição entre o sinal e o sinal com filtro.



4.

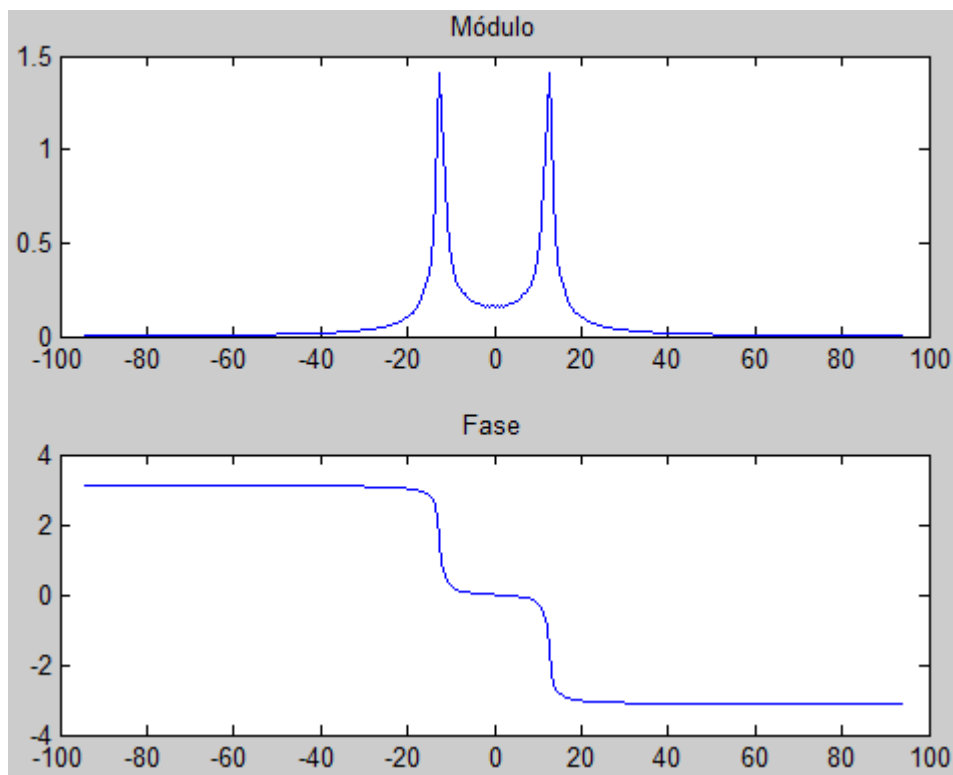
4.1. Para calcular a Transformada de Fourier  $X(\omega)$  foram definidas as variáveis simbólicas omega, m e t, e o vector D representando todos os valores possíveis para  $\omega$ . De seguida foi guardada a função  $x(t)$  na variável xt.

Finalmente foi utilizada a função int, aplicando nesta a fórmula

$$X(\omega) = \int_0^6 x(t) e^{-j\omega t} dt$$

De modo a poder fazer a sua representação gráfica criou-se o vector Xw em que se substitui omega pelo vector D e se converte o tipo de dados para double.

Foi assim obtida a seguinte representação:

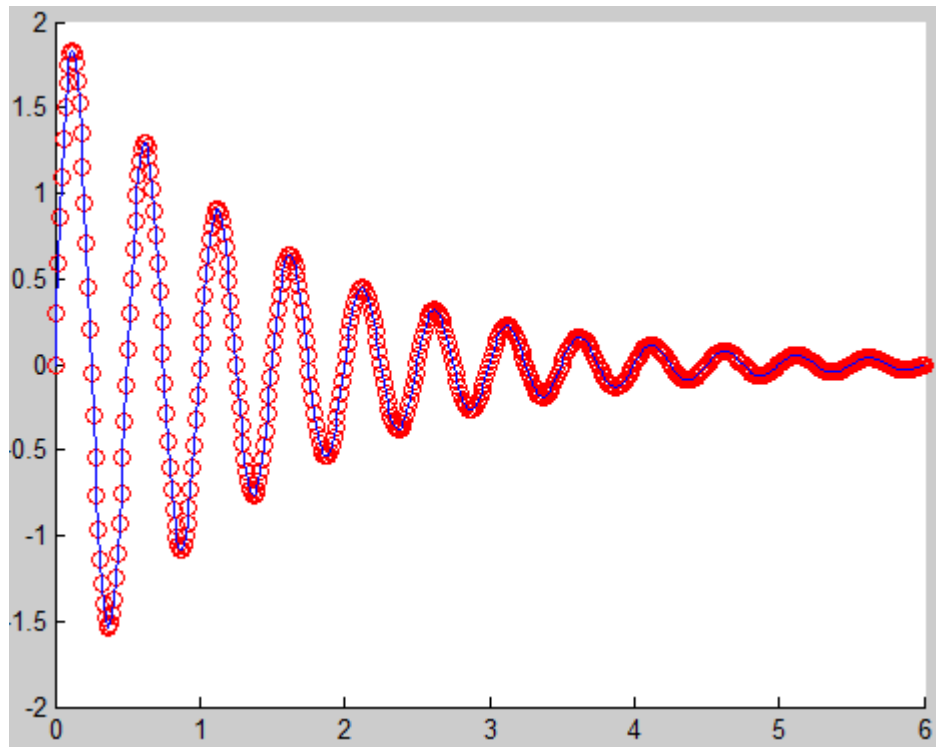


4.2. Dado que o Matlab não consegue simbolicamente fazer o integral

$$x(t) = \int_{-30\pi}^{30\pi} X(\omega) e^{j\omega t} d\omega$$

Foi utilizada a função *ifourier*, que calcula a inversa da Transformada de Fourier, utilizando a variável simbólica X calculada na alínea anterior, obtendo xtf.

Substituindo em xt e xtf o vector tt composto por 500 elementos igualmente espaçados e fazendo o seu plot obtemos o gráfico que nos permite verificar que as duas se sobrepõem completamente.



4.3. Para calcular os coeficientes da Série de Fourier complexa foi utilizada a expressão

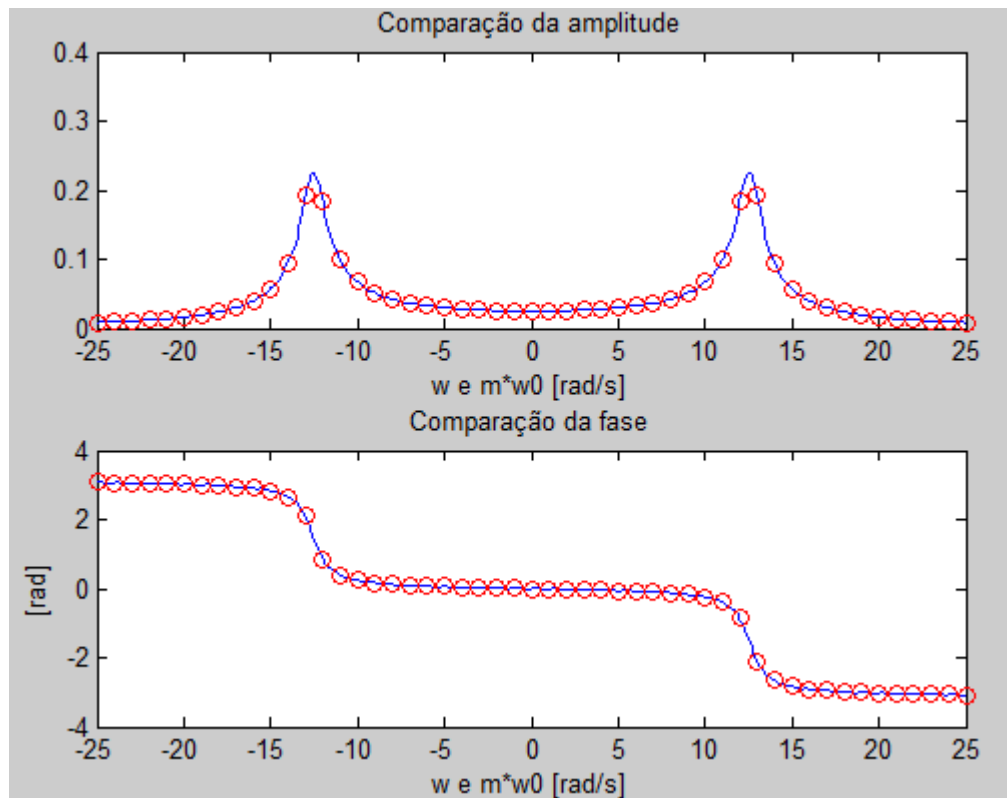
$$c_m = \frac{1}{T_0} \int_0^6 xp(t) e^{-jm\omega_0 t} dt$$

Sendo esta calculada novamente através da função *int*, e depois substituído na expressão resultante um vector *mm* a variar de -25 a 25.

No caso dos coeficientes da função obtida na alínea 4.1, foi utilizada a seguinte relação entre a Transformada de Fourier, os coeficientes e o período fundamental para sinais não-periódicos:

$$c_m = \frac{X(m\omega_0)}{T_0}$$

Assim sendo foi criado um vector *mw0* com valores linearmente espaçados entre -25 a 25, correspondente ao factor  $m\omega_0$  com  $\omega_0 = 1$ , que foi depois substituído na expressão de 4.1, dividida pelo período, que neste caso é  $2\pi$ . Finalmente, representando separadamente as amplitudes e fases dos dois vectores calculados, verificou-se que são perfeitamente coincidentes, logo podemos concluir que, de facto, é equivalente calcular os coeficientes considerando um sinal periódico num determinado intervalo ou através da Transformada de Fourier.



5. Como já foi mencionado, para responder a esta questão, foi adicionada a opção de carregar os dados do sinal de um ficheiro. No nosso caso, o dataset era o correspondente a  $\text{mod}(\#G,3)=2$ .

Ao representar o sinal verifica-se que este pode ser completamente representado por séries de Fourier. Assim, retiraram-se os valores não nulos do ficheiro com a exportação dos coeficientes. Com estes coeficientes é-nos possível determinar uma expressão para o sinal.

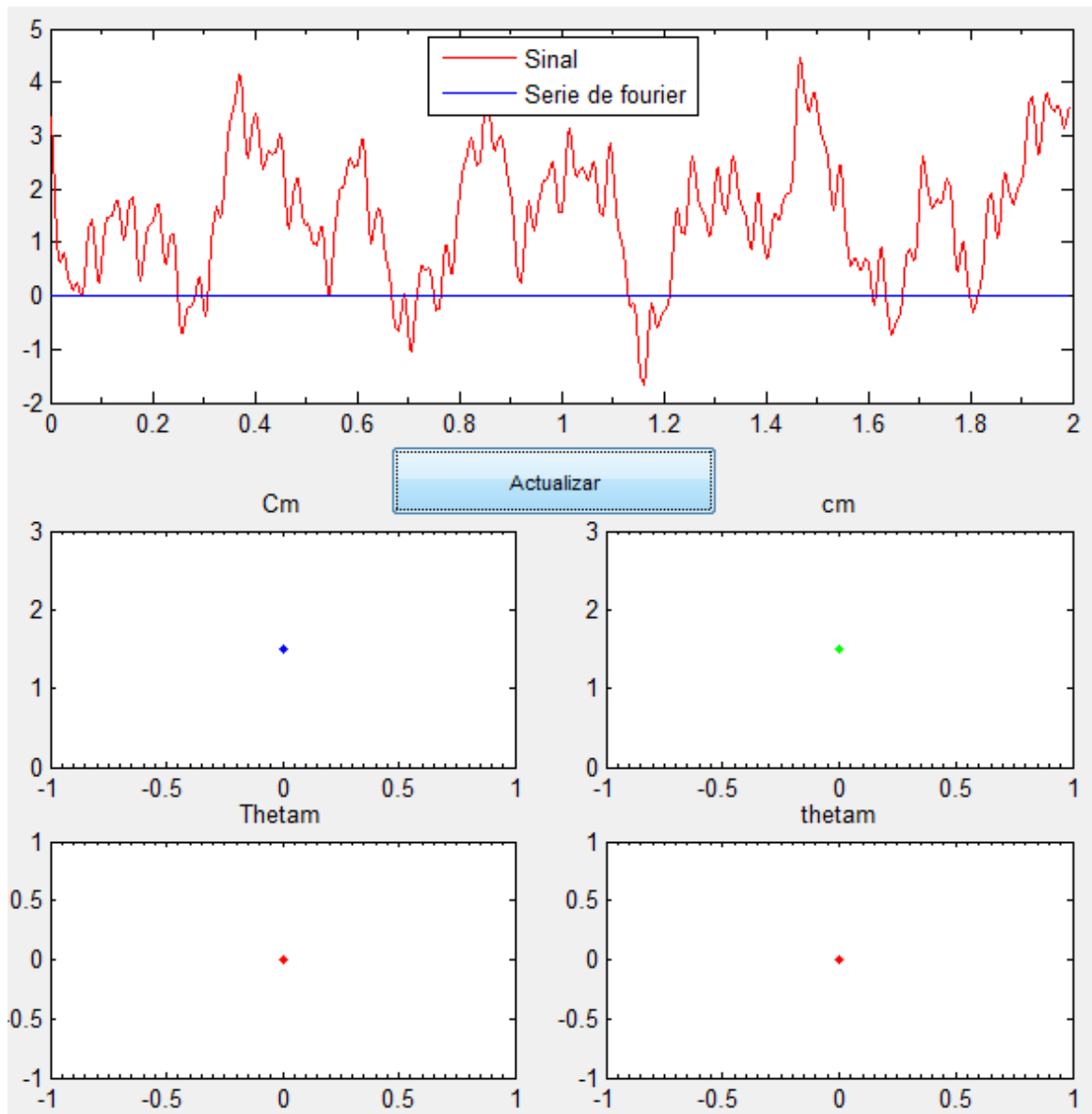
Seguem-se os referidos coeficientes e a expressão por eles dada e as representações do sinal e respectivos coeficientes correspondentes com os vários mmax em que há alteração da Série de Fourier.

m	C <sub>m</sub>	θ <sub>m</sub>
0	1,5	0
4	1	0,785398
9	1,1	1,570796
16	0,5	1,047198
27	0,3	0,628319
49	0,4	0,523599
75	0,3	0

Expressão do sinal:

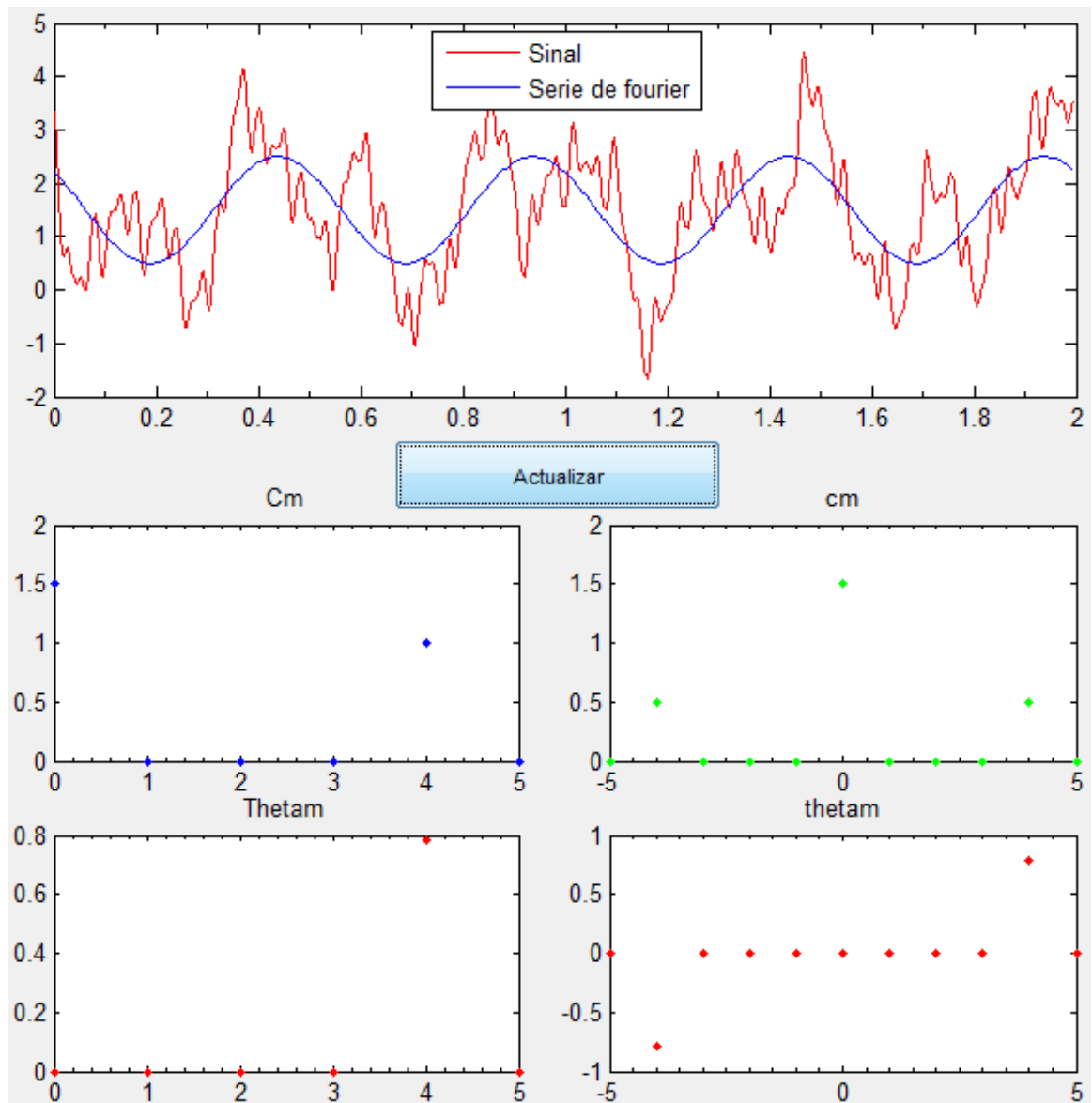
$$x[n] = \cos\left(8t + \frac{\pi}{4}\right) + 1.1 \cos\left(18t + \frac{\pi}{2}\right) + 0.5 \cos\left(32t + \frac{\pi}{3}\right) + 0.3 \cos\left(54t + \frac{\pi}{5}\right) \\ + 0.4 \cos\left(98t + \frac{\pi}{6}\right) + 0.3 \cos(150t)$$

M=0

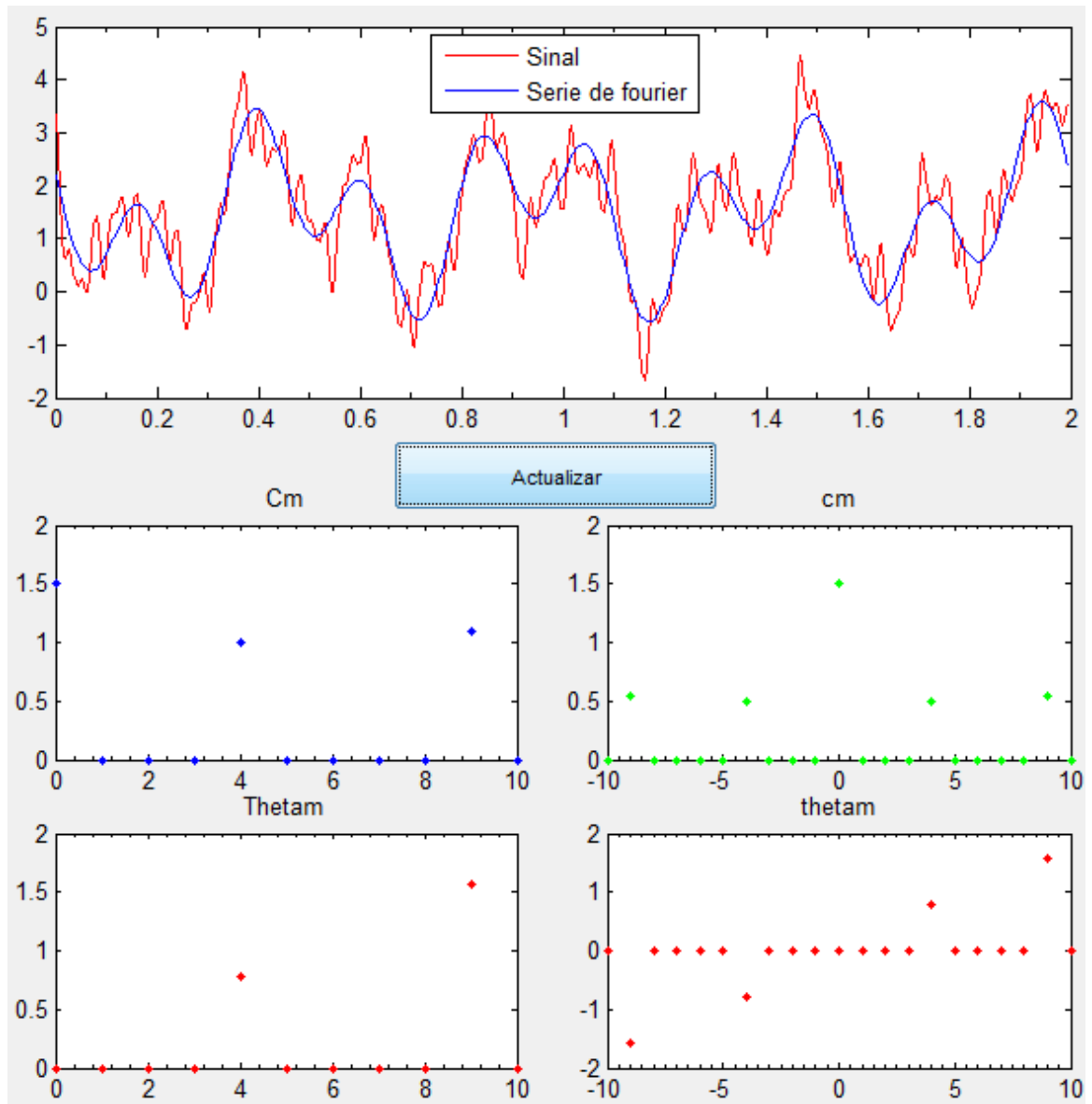




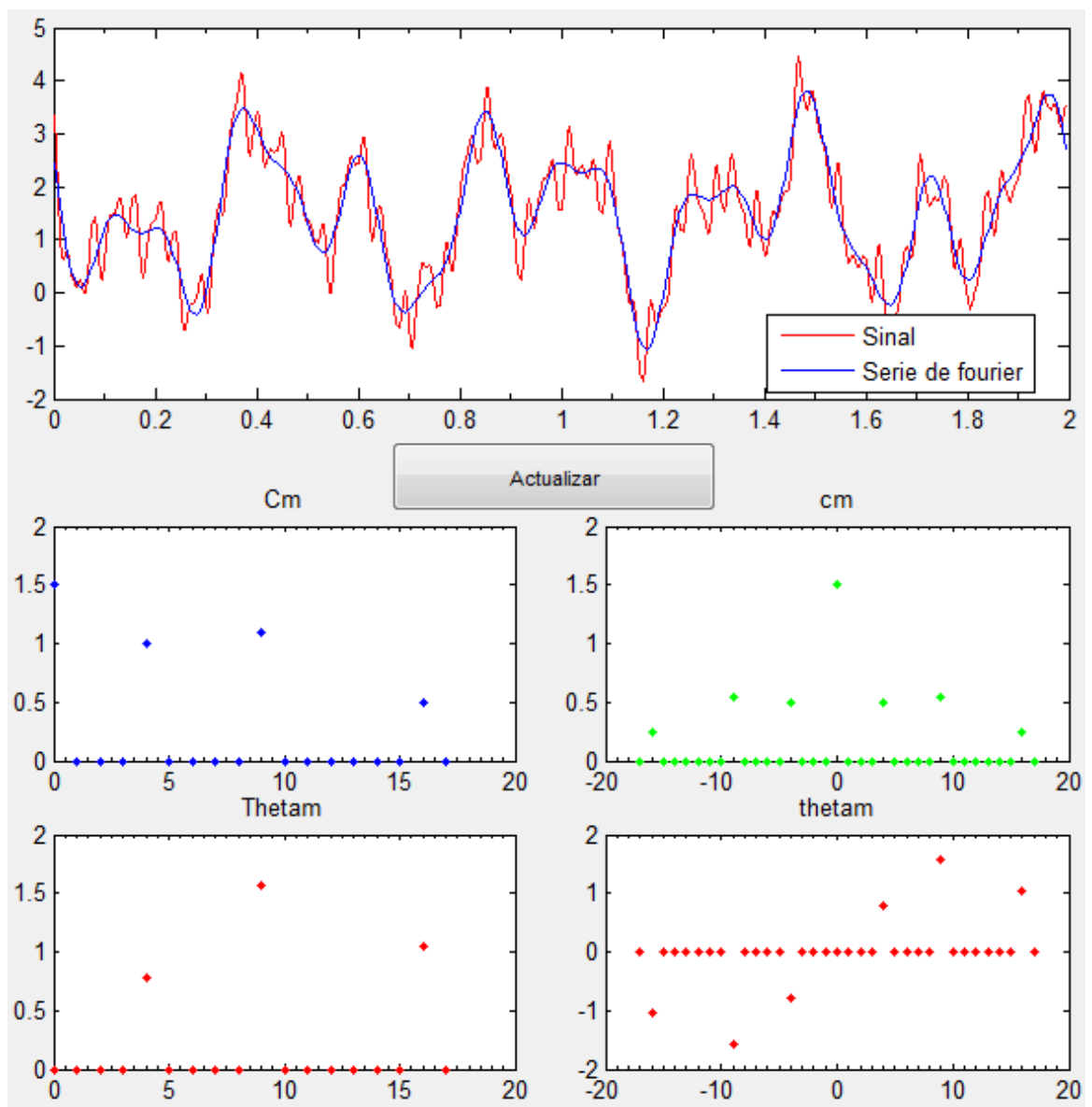
M=4



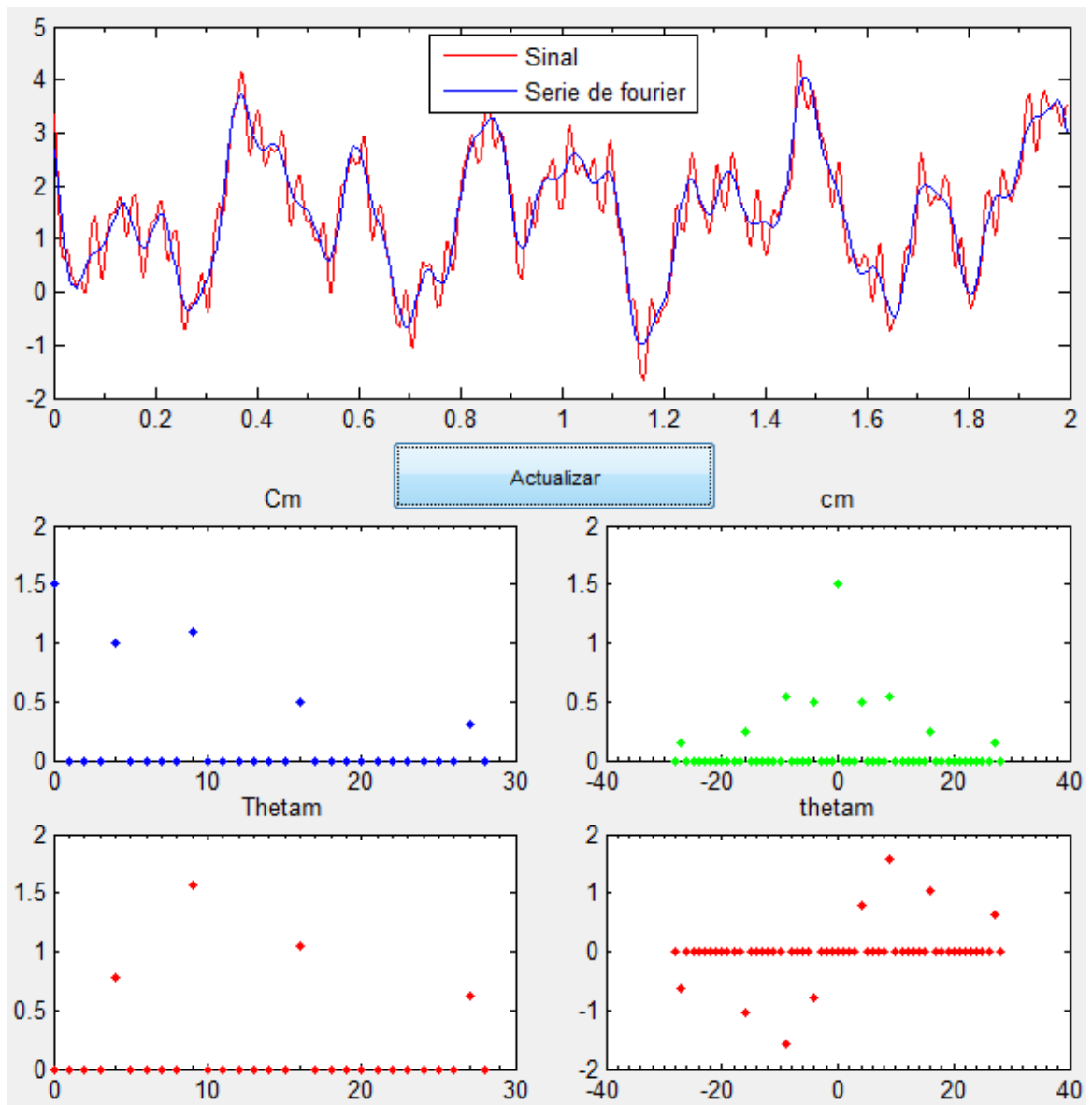
M=9



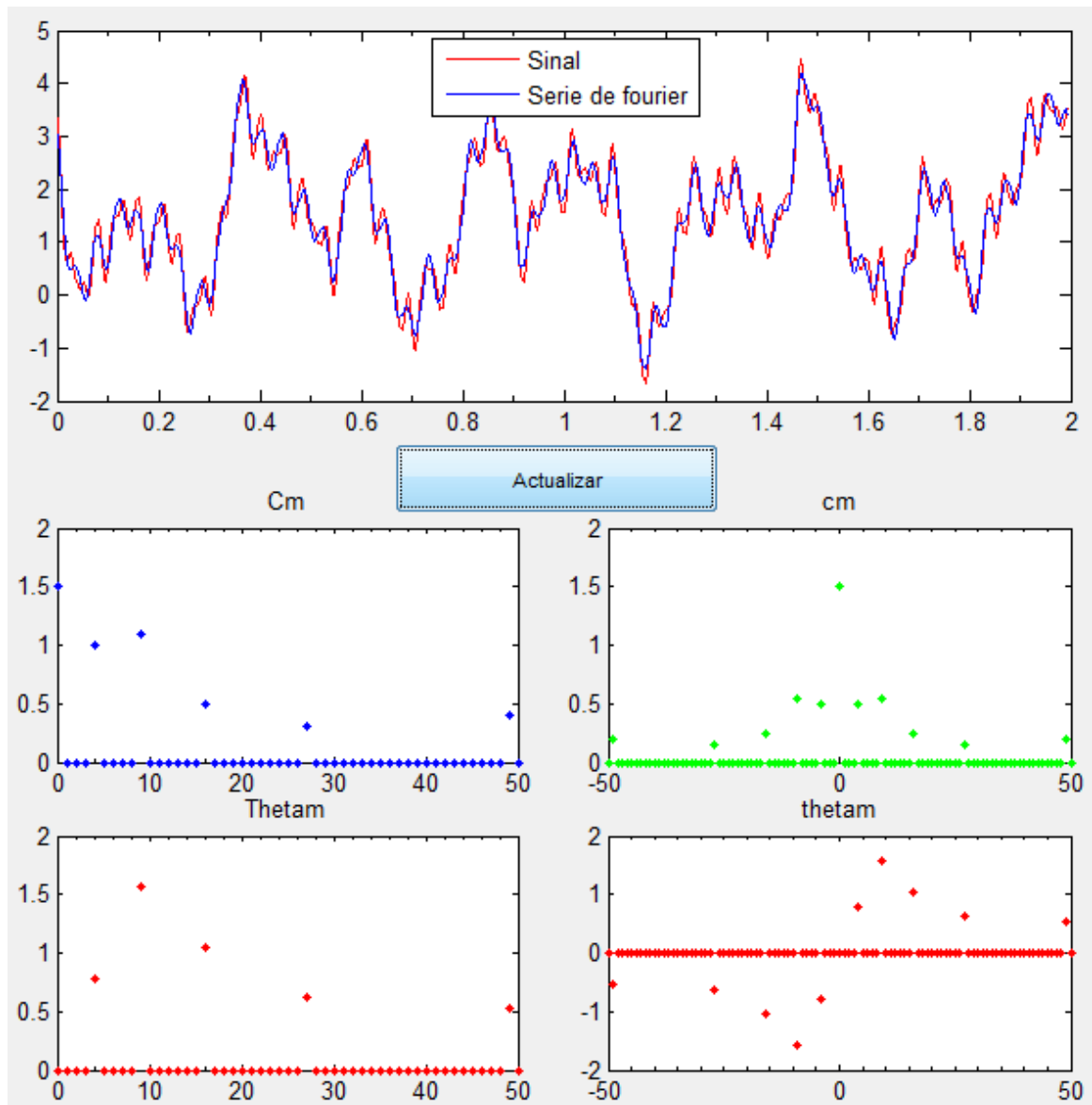
M=16



M=27



M=49



M=75

